

# بسم الله الرحمن الرحيم الفصل الثاني: الحيود في البلورات Crystal diffraction

2025-2024

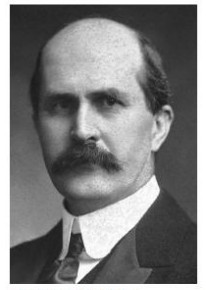
قانون براك

الحزم الساقطة: (الاشعة السينية ، النيوترنات ، الالكترونات)

الطرق التجريبية للحيود: (طريقة لاوى، طريقة البلورة الدوارة، طريقة المسحوق) الشبيكة المقلوبة

عامل تركيب الشبيكة

منحت جائزة نوبل في الفيزياء عام 1915 الى ويليم هنري براك الاب وويلم لورانز براك الابن



Sir William Henry Bragg



William Lawrence Bragg

# قانون براك:

تمكن العالم ويليم لورنس براك (الابن) عام 1913 عندما كان طالب بحث في جامعة كامبريج من ايجاد علاقة رياضية لتعيين المسافة بين المستويات البلورية باستخدام الاشعة السينية. اعتمد براك على حقيقة ان الذرات في داخل البلورة تصطف في مجاميع متميزة من المستويات المتوازية ذات الاحداثيات (hkl) والتي  $d_{hkl}$  تنفصل عن بعضها بمسافة

عند سقوط حزمة من الأشعة السينية بزاوية  $\theta$  على هذه المستويات فأنها تستطير في جميع الاتجاهات داخل البلورة. كما

يبين الشكل ان الاشعة المنعكسة عن تلك المستويات وبنفس زاوية السقوط  $\theta$  . والاشعة الساقطة والمنعكسة لها نفس الطور in phase .

> ان مسار الموجة في اتجاه DEF الذي ينعكس في E هو اطول من مسار الموجة في اتجاه ABC الذي ينعكس في B

> فاذا كانت هاتين المجموعتين من الموجات في نفس الطور فان الفرق بين المساريين يجب ان يكون عددا صحيحاً من الاطوال الموجية nحيث n يساوي عدداً n=1,2,3,... صحیحاً n=1,2,3,...

> لإيجاد الفرق بين المسارين نرسم BG عمودي على DE ونرسم BH عمودي على EF.

AB=DG BC=HF

 $GE + EH = n\lambda$ الفرق بين المساريين (1)

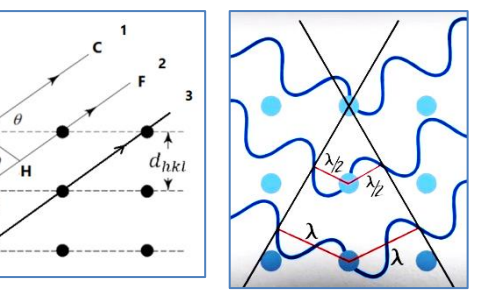
بما ان الذرات في داخل البلورة تصطف في مجاميع متميزة من المستويات المتوازية ذات الاحداثيات والتي تنفصل عن بعضها بمسافة  $d_{hkl}$ , لذلك:  $BE = d_{hkl}$ 

 $GE = d_{hkl} \sin \theta$ من المثلث BGE (2)

ايضاً من المثلث BHE  $EH = d_{hkl} \sin \theta$ (3)

نعوض 2&3 في 1  $d_{hkl} \sin \theta + d_{hkl} \sin \theta = n\lambda$ 

 $\therefore 2d_{hkl}\sin\theta = n\lambda$ 



نعني مرتبة الحيود (n=1,2,3,...) تعني انه لطول موجة معين ولقيمة معينة من d هنالك قيم متعددة لزوايا السقوط  $\theta_1$ و  $\theta_2$  و  $\theta_3$  تحقق الحيود .

فرق المسار بين 1و 2 هو  $\lambda$  و فرق المسار بين 1 و 3هو  $\lambda$  و هكذا لبقية المسار ات.

ن انعكاس براك يمكن ان يحدث فقط عندما يكون الطول الموجي  $\lambda$  في معادلة براك (قانون براك) المستخدم للحصول على انعكاس من مستوي ما (hkl) اصغر او مساوي لضعف المسافة البينية بين مستويين  $d_{hkl}$  متعاقبين في البلورة, اي ان:

$$\lambda \leq 2d_{hkl}$$
 ----- الشرط الَّلازِمُ لَلانعُكاسٌ (شرط الحيود)

$$2d_{hkl}\sin\theta = n\lambda$$
 ... ...  $\frac{n\lambda}{2d_{hkl}} = \sin\theta \le 1$  ... ...  $n\lambda \le 2d_{hkl}$ 

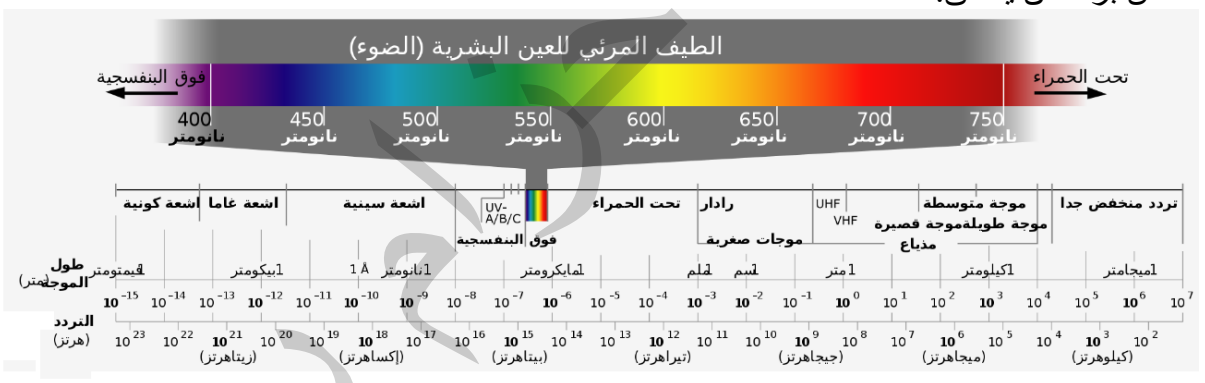
حيث ان قيمة ( $\sin \theta$ ) لا يمكن ان تزيد عن الواحد في اي حال من الاحوال.

$$\lambda \leq 2d_{hkl}$$
 سوف يكون  $n=1$  سوف الرتبة الأولى  $n=1$ 

اما n=0 فهو للحزمة غير المُحادة.

# س) لا يمكن استعمال الضوء المرئي او الاشعة فوق البنفسجية لدراسة الحيود في البلورات؟ الحواب:

بما ان شرط الحيود في قانون براك لأية زاوية  $\lambda \leq 2d_{hkl}$ . وبما ان قيمة d للكثير من البلورات بحدود (3) أنجستروم و عليه فان  $\Delta = 2d + 2d + 2d$  لذلك لا يمكن استعمال الضوء المرئي او الاشعة فوق البنفسجية لان انعاس براك لن يتحقق.



الاشعة الساقطة D&A تسقط بزاوية  $\theta$  اما الاشعة المنعكسة (الاشعة المُستطيرة او الاشعة المُحادة) مثل C&F فتنعكس (تستطير او تعانى من الحيود) بزاوية  $\theta$  (الشرط اللازم تحقيقه).

## س) لماذا يمكن استعمال الاشعة السينية لدراسة الحيود في المعادن؟

الجو اب:

المسافات البينية للمستويات الذرية في البناء البلوري d لمعظم المعادن تساوي طول الموجة للأسعة السينية  $\lambda$  من حيث المقدار. وبما ان شرط الحيود في قانون براك لأية زاوية  $\lambda \leq 2d_{hkl}$  . وحيث ان قيمة ( $\lambda$  sin  $\theta$ ) لا يمكن ان تزيد عن الواحد في اي حال من الاحوال

$$2d_{hkl}\sin\theta = n\lambda \dots \frac{n\lambda}{2d_{hkl}} = \sin\theta \le 1 \dots n\lambda \le 2d_{hkl}$$

وفي حالة الحيود من الرتبة الأولى n=1 سوف يكون  $\lambda \leq 2d_{nkl}$  المعادن. المعادن متحقق لذلك يمكن استعمال الاشعة السينية لدراسة الحيود في المعادن.

الحزم الساقطة: (الاشعة السينية ، النيوترنات ، الالكترونات)

هنالك التباس حاصل لدى البعض عند استعمال مصطلحات الحيود والاستطارة او التشتت. تتطلب در اسة التركيب البلوري استعمال اشعاع ذي طول موجى مساو او اقصر من المسافات البينية بين الذرات ويتم ذلك من خلال الحيود diffraction وفي بعض الاحيان تدعى العملية بالتشتت او  $(\lambda \leq 2d_{hkl})$ الاستطارة scattering ا

الاستطارة: هي انحراف اي شعاع عن مساره نتيجة تفاعله مع المادة، (اي تغير اتجاه جسيم او فوتون عند تفاعله مع النواة او الالكترون).

- الاستطارة غير المرنة (التشتت غير المرن): اذا فقد الجسيم او الفوتون المتشتت (المنحرف عن مساره) قسماً من طاقته
- الاستطارة المرنة (التشتت المرن): اذا لم يحدث تغير في الطاقة للجسيم او الفوتون المتشتت. ان مرور شعاع ضوئي في وسط مادي يسبب استطارة ذلك الشعاع ويتم ذلك بعمليتين منفر دتين ومختلفتين الاولى (انعكاس عشوائي) والعملية الثانية هي الحيود او الانعطاف.
- ♣ الانعكاس العشوائي: يحدث عند مرور الشعاع في وسط مادي، حيث ان جسيمات صغيرة معلقة في الوسط المادي تتصرف بصفة مرايا وتولد انعكاسا عشوائياً بسبب توجيهها العشوائي بالنسبة لأتجاه الشعاع الساقط عليها وان الانعكاس العشوائي يحدث عندما تكون ابعاد الجسيم العاكس كبيرة مقارنة بالطول الموجي للضوء.
- الحيود: ويحدث عند مرور الشعاع في وسط مادي, عند وجود جسيمات في الوسط المادي اصغر من الطول الموجى للضوء الساقط. وبسبب ظاهرة الحيود تتصرف هذه الجسيمات في الوسط بصفتها مراكز للاشعاع. وكل منها تُشتت الضوء في جميع الاتجاهات.

ان ظاهرة الحيود هي حالة خاصة للتداخل تحصل بسبب الطبيعة الموجية للضوء ولكل الجسيمات التي ترافق حركتها موجات مثل الالكترونات والنيوترونات. يمكن القول ان الحيود هو حالة خاصة للأستطارة و هو يمثل استطارة متشاكهة او متآلفة coherent scattering بغض النظر عن كونها مصحوبة بتغير طاقة الشعاع (انتقال الطاقة بين الشعاع والوسط المادي) او عدم تغير ها.

الحزم المستعملة في الحيود:

توجد ثلاث انواع اساسية من الجسيمات الموجية المتباينة الطاقة (او الاطوال الموجية) الي يمكن استعمالها في تجارب الحيود. وهي:

- فوتونات الاشعة السينية
  - النيوترونات
  - الالكترونات

### 1. فوتونات الاشعة السينية

حسب علاقة انشتابن

بمثل تر دد الفو تو نu

h ثابت بلانك

c سرعة الضوء

E = hv = 0

h=6.626x10<sup>-34</sup> J.sec  $c=3x10^8 \frac{m}{}$  $c=3\times10^{-1} \frac{sec}{sec}$   $\lambda(\text{Å}) \approx \frac{12.4}{E(kev)}$ 

و هذا يعنى ان فوتوناً ذا طول موجى 1 انكستروم له طاقة حوالي (12400 ev). ان الانسعة السينية هي موجات كهر ومغناطيسية ذات اطوال موجية محددة تقع بين الاشعة فوق البنفسجية واشعاعات كاما حيث لا تزيد اطوالها الموجية عن بضعة انكسترومات ولهذا يفضل استخدامها في معظم تجارب الحيود البلوري.

2.الالكترونات:

يتصرف الالكترون بوصفه جسيماً له كتلة ترافقه موجة طولها  $\lambda$  والعلاقة بين طاقة الالكترون والطول الموجى المرافق له:

$$\lambda \, (\mathring{A}) \approx \frac{12}{\sqrt{E(eV)}}$$

ان ظاهرة الحيود الالكتروني هي في الاساس اثبات لوجود موجات ترافق الالكترونات بموجب نظرية ديبرولي ولكن ما يميز الالكترون عن الفوتون او النيوترون امتلاكه للشحنة ويتفاعل بقوة مع المواد ويخترقها الى مسافات صغيرة نسبياً قد تصل الى بضع مئات من الانكسترومات قبل ان يعاني من تشتت مرن او غير مرن ولذلك لا يقوم الالكترون بدور مشابه للاشعة السينية في دراسة التركيب البلوري بل ينحصر استخدامه في هدفين اساسيين هما:

- 1- دراسة سطوح البلورات.
  - 2- دراسة الاغشية الرقيقة

#### 3. النيوترونات:

ترافق النيوترون موجه كما هو حال الالكترون. والعلاقة بين طاقة النيوترون وطول موجته  $\lambda$  المرافق له:

$$\lambda \, (\mathring{A}) \approx \frac{0.28}{\sqrt{E(eV)}}$$

ان شحنة النيوترون متعادلة ولكنه يمتلك عزما مغناطيسياً بسبب عدم تطابق مركزي الشحنة الموجبة والسالبة التي يحملها.

#### ولذلك يستخدم:

- 1- في دراسة التركيب البلوري للبلورات المغناطيسية حيث يتفاعل النيوترون بسبب عزمه المغناطيسي هو والكترونات هذه البلورات ((ويكون ذروات peaks اضافية تسمى الذروات المغناطيسية ومنها يمكن دراسة طريقة توزيع العزوم المغناطيسية للالكترونات)) فضلاً عن تفاعله هو ونوى الذرات.
- اما في البلورات غير المغناطيسية, حيث تصبح محصلة العزم المغناطيسي لجميع الكترونات الذرة صفراً, فان النيوترون يتفاعل ونوى الذرات فقط.
  - 2- كذلك يستعمل في اكتشاف تراكيب بعض العناصر الخفيفة كالهيدر وجين.
    - 3- كما يمكن استعماله للتمييز بين العناصر المتجاورة في الجدول الدوري.
      - 4- كما يمكن استعماله للتمييز بين نظائر العنصر الواحد .



$$d_{hkl} = \frac{a}{\sqrt{h^2 + k^2 + l^2}} - \frac{a}{8888} - 2d_{hkl} \sin \theta_{hkl} = n\lambda$$

الموجي  $^{\circ}$  1.54 أباتجاه البلورة بزاوية  $^{\circ}$  20.3 مع المستوى الذري.

2d sin 
$$\theta = n\lambda$$
  
2d sin 20.3° = 1 \* 1.54  

$$d = \frac{1.54}{2 \sin 20.3°} = \frac{1.54}{2 \times 0.3469} = 2.22 \text{ Å}$$

مثال: اشعة سينية بطول موجى  ${
m \AA}~0.58~{
m \AA}$  استخدمت لحساب  ${
m d}_{200}$  في بلورة نيكل. زاوية الانعكاس كانت 9.5° ما هو حجم خلية الوحدة؟

$$d = \frac{a}{\sqrt{h^2 + k^2 + l^2}}$$

$$\lambda = 0.58 \text{ Å} \qquad \& \theta = 9.5^{\circ}$$

$$d_{200} = \frac{a}{\sqrt{2^2 + 0^2 + 0^2}} = \frac{a}{2} = 0.5a$$

$$2d_{hkl} \sin \theta = n\lambda$$

$$2 \times d_{200} \times \sin 9.5^{\circ} = 1 \times 0.58$$

$$2 \times 0.5a \times 0.165 = 1 \times 0.58$$

$$a = \frac{0.58}{1.165} = 0.52 \text{ Å}$$

$$V = a^3 = 0.52^3 (Å)^3$$

مثال: احسب زاوية براك للمستويات (111) لبلورة مكعب ثابت الشبيكة لها  $a=3.57~{\mathring{\rm A}}$  تم اسقاط اشعة سينية عليها بطول موجى  ${
m \AA}~0.54$  .

$$d = \frac{a}{\sqrt{h^2 + k^2 + l^2}}$$

$$d_{111} = \frac{3.57}{\sqrt{(1)^2 + (1)^2 + (1)^2}} = 2.06 \text{ Å}$$

$$2d_{111} \sin \theta = n\lambda$$

$$2 \times 2.06 \times \sin \theta = 1 \times 0.54$$

$$\sin \theta = \frac{1 \times 0.54}{2 \times 2.06} = 0.131$$

$$\theta = 7^{\circ} 32'$$



مثال: يتبلور الرصاص بشكل مكعب متمركز الأوجه FCC، ثابت الشبيكة له a=4.93 أ احسب a=4.93 أ المستويات (111) و (110) اذا سقطت على البلورة اشعة سينية بطول موجي a=4.93 nm

 $2d_{hkl} \sin \theta_{hkl} = n\lambda$ 

$$\sin \theta_{hkl} = \frac{n\lambda}{2d_{hkl}}$$

$$d_{hkl} = \frac{n\lambda}{\sqrt{h^2 + k^2 + l^2}}$$

$$\theta_{hkl} = \sin^{-1} \left(\frac{n\lambda}{2d_{hkl}}\right)$$

$$\begin{split} \theta_{hkl} &= \sin^{-1}\left(\frac{n\lambda}{2a}\sqrt{h^2 + k^2 + l^2}\right) \\ \theta_{111} &= \sin^{-1}\left(\frac{0.152*10^{-9}}{2*4.93*10^{-10}}\sqrt{1^2 + 1^2 + 1^2}\right) = 15.29^{\circ} \\ \theta_{110} &= \sin^{-1}\left(\frac{0.152*10^{-9}}{2*4.93*10^{-10}}\sqrt{1^2 + 1^2 + 0^2}\right) = 12.59^{\circ} \end{split}$$

مثال: اوجد قيمة ثابت الشبيكة a لبلورة مكعبة اذا كان الطول الموجي للاشعة السينية المستخدمة يساوي  $^{\rm A}$  1.54  $^{\rm A}$  وزاوية براك  $^{\rm C}$  1.1. للرتبة الأولى للمستوي (110) .

$$2d_{hkl} \sin \theta_{hkl} = n\lambda$$

$$d_{hkl} = \frac{n\lambda}{2\sin(\theta_{hkl})}$$

$$d_{hkl} = \frac{\sqrt{h^2 + k^2 + l^2}}{a}$$

$$\frac{a}{\sqrt{h^2 + k^2 + l^2}} = \frac{n\lambda}{2\sin(\theta_{hkl})}$$

$$a = \frac{n\lambda}{2\sin(\theta_{hkl})} \sqrt{h^2 + k^2 + l^2}$$
 للرتبة الأولى n=1 
$$a = \frac{1.54 \,\text{Å}}{2\sin(11.1)} \sqrt{1^2 + 1^2 + 0^2}$$
 للمستوي (110)

$$a = \frac{1.54 \text{ Å}}{2 \sin(11.1)} \sqrt{2} = 5.656 \text{ Å}$$

الجو اب:

مثال: لبلورة مكعب BCC فسحة السطوح (المسافة البينية) (d) للمستويات (110) هي 1.181 Å. اذا كان الطول الموجى للاشعة السينية المستخدمة يساوي لم 1.54 . اثبت أن اقصى رتبة لانعكاس براك يمكن ان نجدها هي n=1.

$$2d \sin \theta = n\lambda$$

$$d = 1.181 \text{ Å}$$

$$\lambda = 1.540 \text{ Å}$$

$$n = \frac{2d \sin \theta}{\lambda}$$

$$= \frac{2 \times 1.181 \sin 90^{\circ}}{1.540} = 1.53$$

ومن الجدير بالذكر ان n يجب ان تكون عدد صحيح integer وهنا نلاحظ بان اقصى قيمة ممكنة n في هذه الحالة هو 1.

مثال: اوجد زاوية الحيود المتوقعة (20) للانعكاس من الرتبة الأولى من مجموعة مستويات (310) للكروم الذي يمتلك شبيكة BCC. عند استخدم إشعاع أحادي اللون (احادي الطول الموجي) 10.0711 نانومتر. علماً ان نصف القطر الذري (r) = 0.1249 نانومتر.

$$a = \frac{4r}{\sqrt{3}} = \frac{(4)(0.1249 \, nm)}{\sqrt{3}} = 0.2884 \, nm$$

$$d_{310} = \frac{a}{\sqrt{(3)^2 + (1)^2 + (0)^2}} = \frac{0.2884 \, nm}{\sqrt{10}} = 0.0912 \, nm$$

$$\sin \theta = \frac{n\lambda}{2d_{310}} = \frac{(1)(0.0711 \text{ nm})}{(2)(0.0912 \text{ nm})} = 0.390$$

$$heta=\sin^{-1}0.390=22.94^{\circ}$$
 زاویة براك  $oldsymbol{ heta}=oldsymbol{Bragg\ angle}$  زاویة براك

$$2\theta = Diffraction \ angle$$
 زاوية الحيود  $2\theta = (2)(22.94^{\circ}) = 45.88^{\circ}$ 

مثال: باستخدام البيانات نجد ان الحديد  $\hat{BCC} = \hat{BCC}$  نصف القطر الذري له يساوي 0.1241 ، احسب المسافة البينية  $\hat{d}$  (211) و مجموعة المستويات (111) و (211) .

$$a = \frac{4r}{\sqrt{3}} = \frac{(4)(0.1241 \, nm)}{\sqrt{3}} = 0.2866 \, nm$$

$$d_{hkl} = \frac{a}{\sqrt{(h)^2 + (k)^2 + (l)^2}}$$

$$d_{111} = \frac{a}{\sqrt{(1)^2 + (1)^2 + (1)^2}} = \frac{0.2866 \text{ nm}}{\sqrt{3}} = 0.1655 \text{ nm}$$

$$d_{211} = \frac{a}{\sqrt{(2)^2 + (1)^2 + (1)^2}} = \frac{0.2866 \, nm}{\sqrt{6}} = 0.1170 \, nm$$

مثال: يحتوي الروديوم المعدني على تركيب بلوري FCC . إذا كانت زاوية الحيود لمجموعة المستويات تحدث عند  $^{\circ}26.12^{\circ}$  انعكاس من الرتبة الأولى) عند استخدام إشعاع أحادي اللون بطول (311) مُوجِي  $\lambda = 0.0711$  نانومتر ، احسب (أ) المسافة البينية  $\dot{\mathbf{d}}$  (فسحة السطوح) لهذه المجموعة من المستويات، و (ب) نصف القطر الذري لذرة الروديوم.

(a) 
$$2\theta = \text{Diffraction angle} = 36.12^{\circ}$$
  $\theta = \text{Bragg angle} = \frac{36.12}{2} = 18.06^{\circ}$   $d_{311} = \frac{n\lambda}{2\sin\theta} = \frac{(1)(0.0711 \ nm)}{(2)(\sin 18.06^{\circ})} = 0.1147 \ nm$  (b)  $d_{hkl} = \frac{a}{\sqrt{(h)^2 + (k)^2 + (l)^2}}$   $a = d_{hkl}\sqrt{(h)^2 + (k)^2 + (l)^2}$ 

$$a = d_{311}\sqrt{(3)^2 + (1)^2 + (1)^2} = (0.1147 \ nm)(\sqrt{11}) = 0.3804 \ nm$$
 For FCC: 
$$a = 2\sqrt{2} \ r$$
 
$$r = \frac{a}{2\sqrt{2}} = \frac{0.3804 \ nm}{2\sqrt{2}} = 0.1345 \ nm$$

#### واجب بيتى:

 $a=3.57 \ {
m \AA}$  وثابت الشبكية له  $a=3.57 \ {
m \AA}$  اذا علمت للماس تركيب ان كثافة الماس 3510 Kg/m³ ، فاحسب عدد ذرات الكاربون في خلية الوحدة للماس، علماً بأن الوزن الجزئي للكاربون هو (12.01).

الجواب: خلية الماس تحوى 8 ذرات

1- يتبلور النحاس بتركيب fcc فاذا كانت الكتلة الذرية تساوى 63.54 وحدة كتلة ذرية وكثافتها 8960 Kg/m<sup>3</sup> احسب اقصر مسافة بين ذرتي نحاس.

س) اوجد المسافة بين ذرتين a في بلورة مكعبة اذا كانت زاوية براك  $\theta=30^\circ$  لرتبة الانعكاس  $^{\circ}$  الأولى  $^{\circ}$  المستوى (111) . اذا كان الطول الموجى للاشعة السينية المستخدمة يساوى  $^{\circ}$  2 .

الطرق التجريبية للحيود: (طريقة الاوي ، طريقة البلورة الدوارة ، طريقة المسحوق) توجد اكثر من عشر طرائق تجريبية مختلفة في در اسة التماثل والتركيب البلوري و غيرها من الامور المتعلقة بعلم البلورات من حيود الاشعة السينية وإن معظم هذه الطرائق يمكن استخدامها في تجارب الحيود النيوتروني .

#### ومن هذه الطرق:

طريقة لاوى

طريقة البلورة الدوارة (تدوير البلورة)

طريقة المسحوق (ديباي – شيرر)

طربقة تذبذب البلورة وطربقة وابزبنبرك

ولكن هناك ثلاث طرق رئيسية متميزة عن بعضها البعض ومصممة أسأساً بموجب الكميات الرئيسية و هي  $\theta$  اي انه في كل طريقة للحيود يجب ان يكون هناك ربط مناسب بين هذه الكميات للحصول على  $\theta$ تداخُّل تقوية للْاشعة المنعكسة ، حيث ان سقوط اشعة سينية ذات أطوال موجية معينة عل بلورة بزاوية سقوط ما لا يعنى بالضرورة حصول حيود من تلك البلورة. أن أية طريقة لحيود الاشعة السينية تتضمن متغبر أ و احداً فقط.

في تجارب الحيود هنالك ثلاث طرق شائعة جداً هي: -

θ	λ	الطريقة
ثابتة	متغير	طريقة لاوي
متغير جزئياً	ثابت	طريقة تدوير البلورة
متغيرة	ثابت	طريقة المسحوق

#### 1- طريقة لاوي: Laue method

تعد طريقة لاوي من اقدم الطرق المستخدمة في حيود الاشعة السينية حيث <u>تثبت بلورة احادية</u> في مسار حزمة من الاشعة السينية ذات أطوال موجية مختلفة كما موضح في الشكل أدناه.

ان كل مجموعة من مجاميع السطوح في البلورة لها فسحة d خاصة بها وتحدث زاوية خاصة مع اتجاه الاشعة السينية الساقطة على البلورة ولذلك تختار كل مجموعة متوازية من السطوح أحد الاطوال الموجية المناسبة لها, اي التي تحقق قانون براك ويحدث الحيود وتنبعث أشعة الحيود من البلورة لتسقط على اللوح الفوتو غرافي مكونة نقاط على ذلك اللوح (spots).

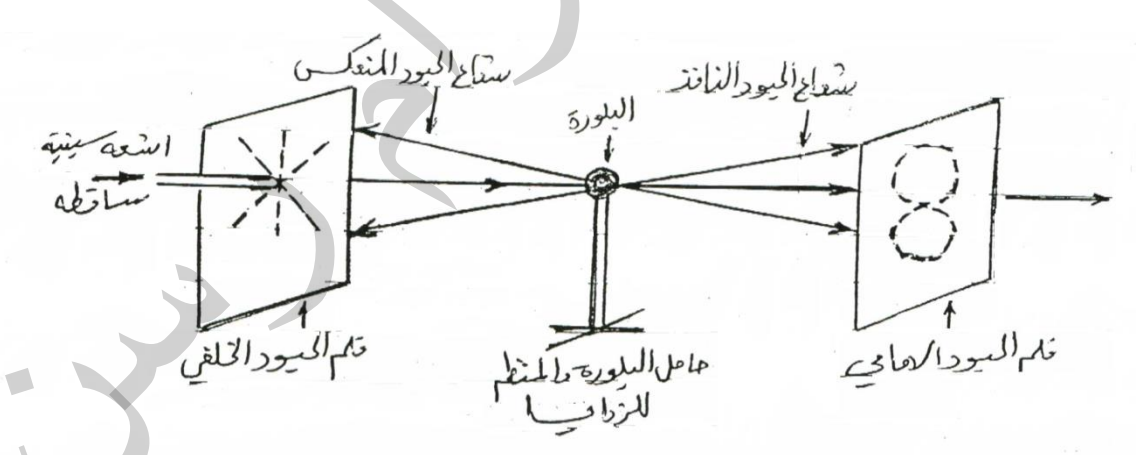
- يمكن وضع اللوح الفوتوغرافي بين مصدر الاشعة السينية والبلورة وتدعى هذه الحالة الحيود الخلفي (الانعكاس الخلفي). أو يوضع في جهة نفوذ الاشعة السينية وتدعى هذه الحالة بالحيود الامامي.

- الكونيوميتر هو حامل البلورة المنظم للزوايا يتضمن قوسين متعامدين بعضهما على بعض لغرض امالة البلورة قليلاً لتوجيه البلورة باتجاه الاشعة السينية الساقطة وتنجز هذه العملية قبل تعريض البلورة للاشعة.

- تستخدم طريقة لاوى للحالات التالية:

- ✓ اما البقع المتكونة على اللوح الفوتوغرافي لبلورة معروف تركيبها البلوري فيمكن الاستدلال منها على تماثل البلورة والاتجاهات البلورية الموازية والعمودية على اتجاه سقوط الاشعة.
- ✓ وكذلك الاستدلال على عيوب البلورة الحاصلة نتيجة التأثيرات الحرارية والميكانيكية على البلورة.
- ✓ اذا كان اتجاه الشعاع الساقط على البلورة هو محور تماثل ما فان تشكيلة بقع الحيود المتكونة على اللوح الفوتو غرافي سوف تُظهر ذلك التماثل.
- ✓ وعلى الرّغم من عدم امكانية تحديد القيمة العددية لحجم وحدة الخلية (خلية الوحدة) في طريقة
   لاوي الا انه يمكن تحديد شكل تلك الخلية .

ان الاشعة السينية المستخدمة في هذه الطريقة يجب ان تكون ذات طيف مستمر ومن ناحية أخر يفضل ان تكون المسافة بين اللوح الفوتو غرافي والبلورة (3-5cm) حيث ان ذلك يقلل من الفترة



الزمنية اللازمة للتجربة ويزيد من عدد البقع المرئية على اللوح.

س1/ هل يمكن استخدام طريقة لاوي لتعيين احداثيات شبيكة او تركيب بلوري لبلورة غير معروفة التركيب؟

#### لجواب:

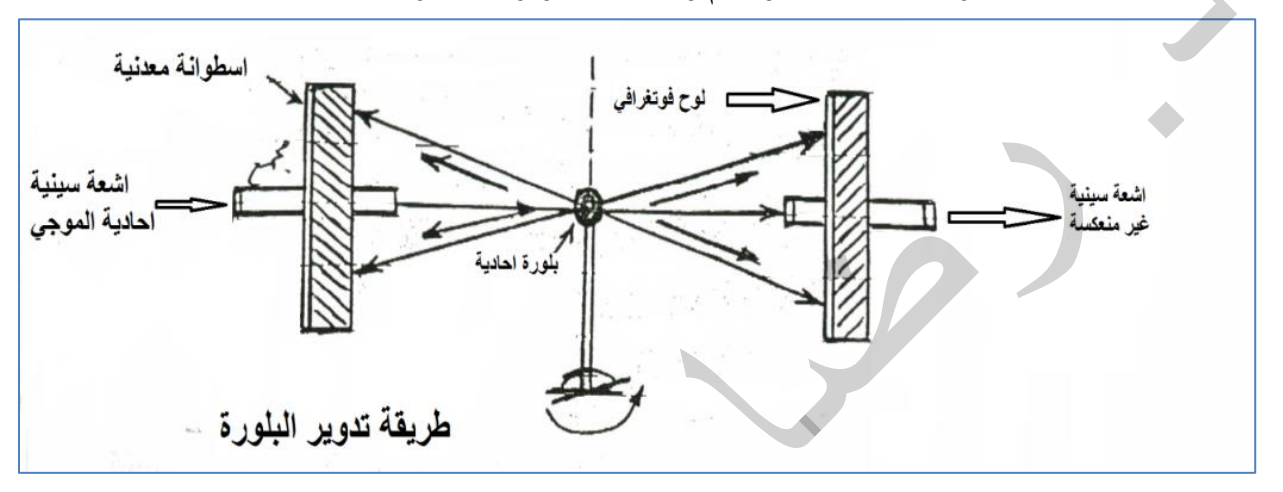
لا يمكن استخدام طريقة لاوي لتعيين احداثيات شبيكة او تركيب بلوري لبلورة غير معروفة التركيب بسبب المدى الواسع لقيم  $\lambda$  حيث ان البقعة الواحدة تمثل عدة انعكاسات اي يمكن لمجاميع من السطوح المتوازية ذات فسح متباينة ان تعكس آنياً عدة اطوال موجية لعدة قيم للرتبة. وبذلك يتعذر اعتبار شدة بقعة ما على الفلم ممثلة لشدة انعكاس لسطح معين (hkl) ذات فسحة معينة.

2- طريقة البلورة الدوارة Rotating Crystal Method (طريقة تدوير البلورة):

في هذه الطريقة يسمح لبلورة احادية بالدور أن المستمر حول محور ثابت عمودي على اتجاه سقوط الاشعة السينية ذات طول موجي أحادي monochromatic وبذلك تتغير زاوية براك  $(\theta)$  بوصفها دالة على الزمن والشكل ادناه يوضح جهاز التصوير المستخدم في هذه الطريقة .

تستخدم طريقة تدوير البلورة للحالات التالية:

- يستفاد من طريقة تدوير البلورة لتعيين التركيب البلوري.
- تتحصر فائدتها في تعيين اطوال محاور شبيكة بلورة معروفة التماثل.
- واذا كان التركيب البلوري معلوم فيمكن استخدام هذه الطريقة لمعرفة كون البلورة أحادية ام لا.
  - يمكن بهذه الطريقة تحديد شكل وحجم وحدة الخلية وترتيب الذرات داخل الخلية .

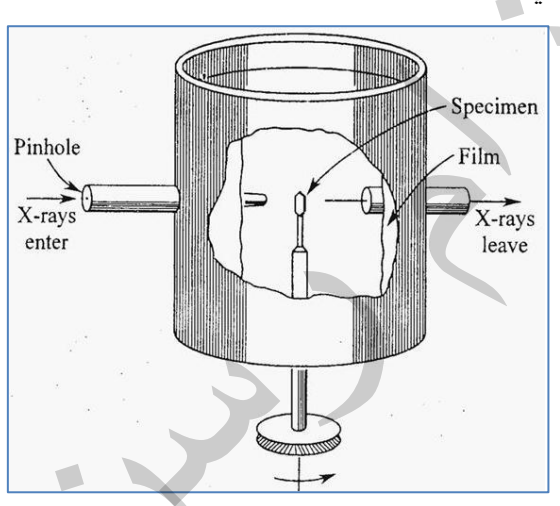


ان مبدا عمل هذه الطريقة يمكن ان يوضح من خلال ما يلى :-

♦ الشكل التخطيطي يوضح الاجزاء الرئيسية حيث توضع البلورة المطلوب دراستها عادة على محور قابل للدوران ويكون حجمها (1mm³) ويلصق الفلم على السطح الداخلي للاسطوانة المتحدة المركز مع محور الدوران.

توجه حزمة احادية التردد في خطوط متوازية وتسقط على البلورة التي يمكنها الدوران اذا تطلب ذلك حيث يتم الحصول على شرط الحيود و fذلك فان  $(\Theta, \lambda)$  يحققان قانون بر اك

, وعند تحقيق قانون براك فان الحزمة الحايدة تنفذ من البلورة وهكذا تظهر البقع على الفلم لتسجيل نمط الحيود للاتجاهات المختلفة .

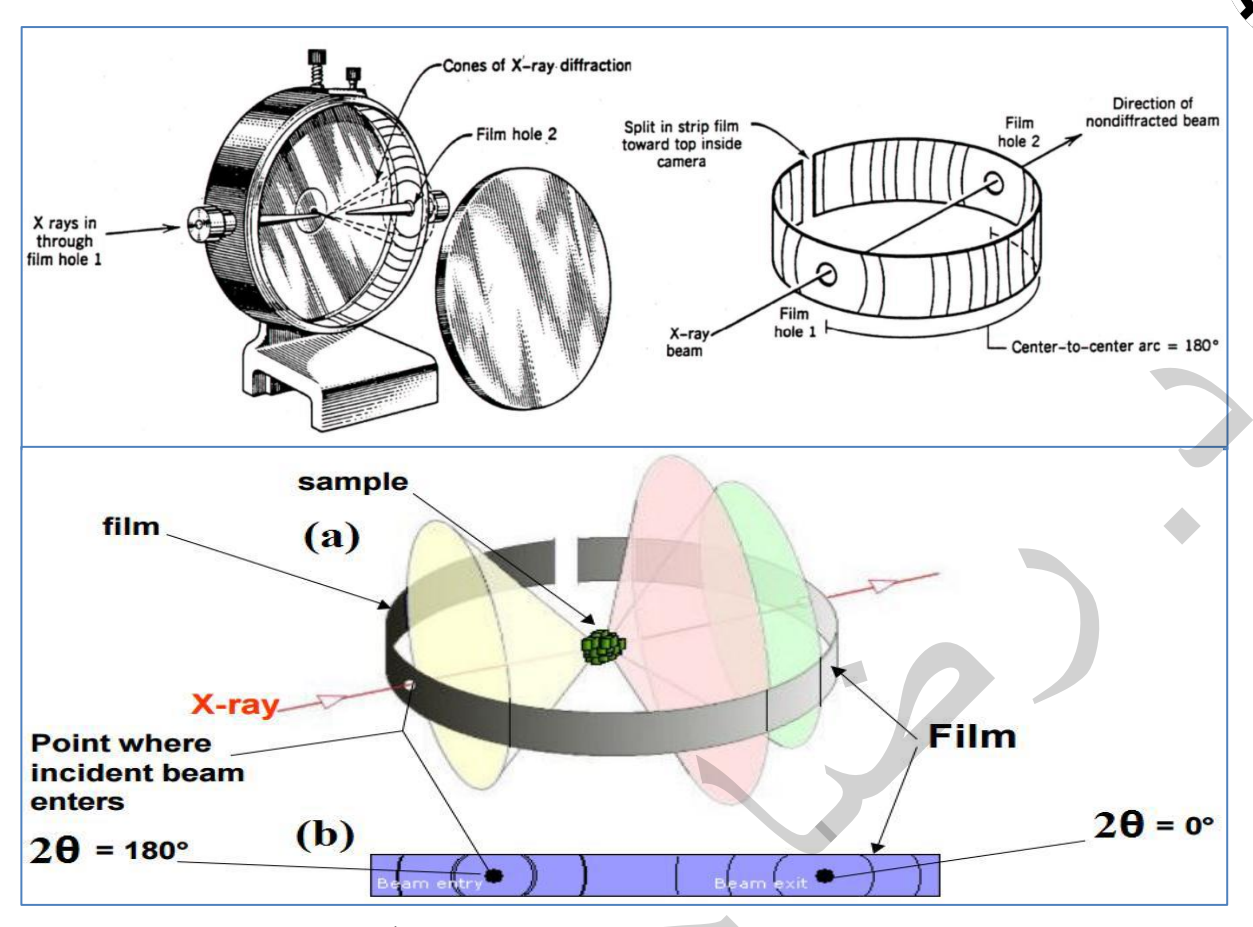


### طريقة المسحوق (ديباي – شيرر) Powder method

في هذه الطريقة نستخدم مسحوق البلورة الذي يجب ان يكون متجانساً من ناحية خلط المسحوق وحجم الحبيبات المكونة له ، ان هذا المسحوق المتجانس من الحبيبات او البلورات الصعيرة له القابلية عند تعرضه للاشعة السينية الاحادية الموجة ان يعكس بعدة قيم لزاوية براك (Θ).

ولغرض توضيح هذه الطريقة نبين ما يلي :-

❖ تسحق البلورة بشكل جيد الى ان تصبح على هيئة حبيبات دقيقة جداً اي على شكل مسحوق يوضع على مسار الاشعة السبنية ذات التردد الأحادي.



- ❖ كل حبة من حبيبات المسحوق يمكن اعتبار ها بلورة صغيرة جداً ذات اتجاه عشوائي بالنسبة للاشعة الساقطة.
- ❖ بما ان هناك عدداً كبيراً من هذه الحبيبات في مسار الاشعة الساقطة فيكون هناك احتمال كبير من توافق وضع أحد الحبيبات أو عدد منها مع زاوية سقوط الاشعة بحيث يتحقق قانون براك وبذلك تحدث ظاهرة الحيود.
- ♦ ان نمط الحيود الذي يتم الحصول عليه بهذه الطريقة مطابقاً للحيود الذي نحصل عليه من البلورة الدوارة حول جميع المحاور الممكنة وليس حول محور واحد.
- ♦ وبما أن اتجاه الانعكاسات متساو في جميع الاتجاهات تقريبا لذا فأن الحزمة المحادة تكون مخروطا محوره باتجاه الشعاع الساقط.
- يبين الشكل مخاريط من الشعاع المحاد. يبين الشكل نمط الحيود على غشاء تصويري مسطح. ان خط الحيود ذا الزاوية الصغيرة  $2 \Theta$  يعود الى مستويات متوازية ذات أكبر مسافة بينية  $d_{hkl}$  وتكون لها أكبر قيمة عندما تكون قيمة  $h^2 + k^2 + l^2$  اصغر ما يمكن.

#### تستخدم طريقة المسحوق للحالات التالية:

- ✓ تستعمل بشكل واسع في حقل فحص المعادن، في دراسة مكونات السبائك ونسب تلك المكونات.
- ✓ وتستخدم عند عدم إمكانية الحصول على بلورة أحادية كبيرة نسبيا (الحجم 1 mm³) من بعض المواد.
- ✓ هذه الطريقة مفيدة جدا في الحالات تعين ثوابت البلورة مثل ايجاد قيم (d) للسطوح المختلفة للمسحوق
  - ✓ تستخدم في دراسة تغيير الطور للمواد

الشبيكة المقلوبة (Reciprocal lattice): أن نظرية الشبيكة المقلوبة تعد من المفاهيم الأساسية في علم البلورات وفي فيزياء الحالة الصلبة بحيث يمكن استخدامها للتعبير عن كل الظواهر التي تنتج من تفاعل الموجات في المواد الصلبة مثل الحيود و الاستطاره وكذلك يمكن استعمال مفهوم الشبيكه المقلوبة في تفسير نظرية الحزّم Band theory.

أن حيود الاشعه السينيه تنتج من أستطارتها من الذرات الواقعة ضمن اي مجموعة من المستويات المتوازية في البلوره ، فعليه من الصعب عمليا تعقب معرفة مصدر كل استطاره وذلك بسبب التداخل بين المستويات في البلوره ولمعرفة مصدر كل استطاره يمكن استخدام الشبيكة المقلوبة واظهار كل مجموعة من المستويات في البلور و بدلالة نقطة يطلق عليها بنقطة الشبيكة المقلوبة.

ان ظهور البقع السوداء على الفلم الفوتو غرافي ينتج في الحقيقة عن استطارة الاشعة السينية من الذرات الواقعة في مجموعة من المستويات المتوازية. ولتشخيص هذه البقع السوداء ومصدرها من المستويات يجب علينا مقارنة نموذج البقع السوداء على الفلم مع النموذج النظري للشبيكة المقلوبة والذي يعد مكافئاً لشكل وصورة نموذج الحيود (البقع السوداء) التي تظهر على الفام الفوتوغرافي.

تعد الشبيكة المقلوبة من الناحية الرياضية عبارة عن تحويلات فورير (Fourier Tansformation) للشبيكة الحقيقية. تعتمد تحويلات فورير على نقاط أو موجات تعيد نفسها بشكل دوري. وبما أن المستويات البلورية في اي مجموعة من المستويات المتوازية تعيد نفسها بشكل دوري بمسافة d فعليه يمكن تطبيق نظرية تحويلات فورير هنا وكذلك يمكن كتابة دالة فورير بالشكل:

$$F(r+d) = F(r)$$

الفصل الثاني: الحيود في البلورات

وقد أستطاع فورير أن يجزء هذه الداله الى مركبتين الأولى تدعى بالمركبه الجيبية  $\sin(\alpha r)$  والثانية  $lpha=rac{2\pi n}{d}$  عيث .exp [i(lpha r)] ديم ويمكن كتابة الداله بالصيغة  $\cos(lpha r)$  عيث تدعى بمركبه جيبي تمام وتمثل n عددا صحيحا و d يمثل المسافة البينية بين المستويات؟

أن الداله النهائية والتي لها علاقة بالشبيكة المقلوبه هي:

$$F(r) = \int_{-\infty}^{+\infty} f(n) \exp\left(\frac{2\pi nir}{d}\right) dr$$

في الحقيقة جاءت تسمية الشبيكة المقلوبة من خلال المعادلة اعلاه حيث نري ان المسافة  $\operatorname{d}$  بين المستويات تظهر في المعادلة بصورة مقلوبة.

ان مقلوب المسافة هو الذي يعين موقع نقطة في الشبكة المقلوبة. وعليه يعد من الناحية الرياضية متجهاً. يطلق عليه متجه الشبيكة المقلوبة $|\vec{G}|$  ويكتب رياضياً بالصيغة التالية:  $|\vec{G}| = \frac{A}{d_{hkl}}$  حيث A يمثل  $A=2\pi$  عامل مقياس الرسم وقيمته اما 1 او  $\pi$ 2. في فيزياء الحالة الصلبة سوف نستخدم

طريقة بناء الشبيكة المقلوبة:

كل مجموعة من المستويات المتوازية في بلورة تُمثل بمتجهات من نقطة الأصل لشبيكة مقلوبة، وكل متجه عمودي على تلك المجموعة من المستويات التي يمثلها وان طولها يتناسب عكسياً مع المسافة البينية d لتلك المجموعة من المستويات. وبعبارة أخرى ان النقاط الواقعة عند نهايات تلك المتجهات العمودية تشكل نقاط (100) الشبيكة المقلوبة لبلورة.

الشكل التالي يبين مجموعة الخطوط المستقيمة التي تمثل مستويات ذات احداثيات (010) و (100) و (110) و (210) مرسومة في بعدين. وتعود هذه المستويات لخلية

فلكي يتم تعيين مواقع نقاط الشبيكة المقلوبة التي تناظر هذه المستويات نتبع الخطوات التالية:

- أرسم من نقط الاصل المشتركة 0 إحداثيات البلورة.
- جد قيمة  $\frac{1}{d_{hkl}}$  لكل مجموعة من المستويات المتوازية.
- أرسم من نقطة الاصل عمودي على المستوي ثم ضع  $\frac{1}{d_{LL}}$  نقطة على العمود تبعد عن نقطة الأصل

#### ويبين الشكل مجموعة من النقاط التي تمثل المستويات والتي يطلق عليها بمقلوب الشبيكة.

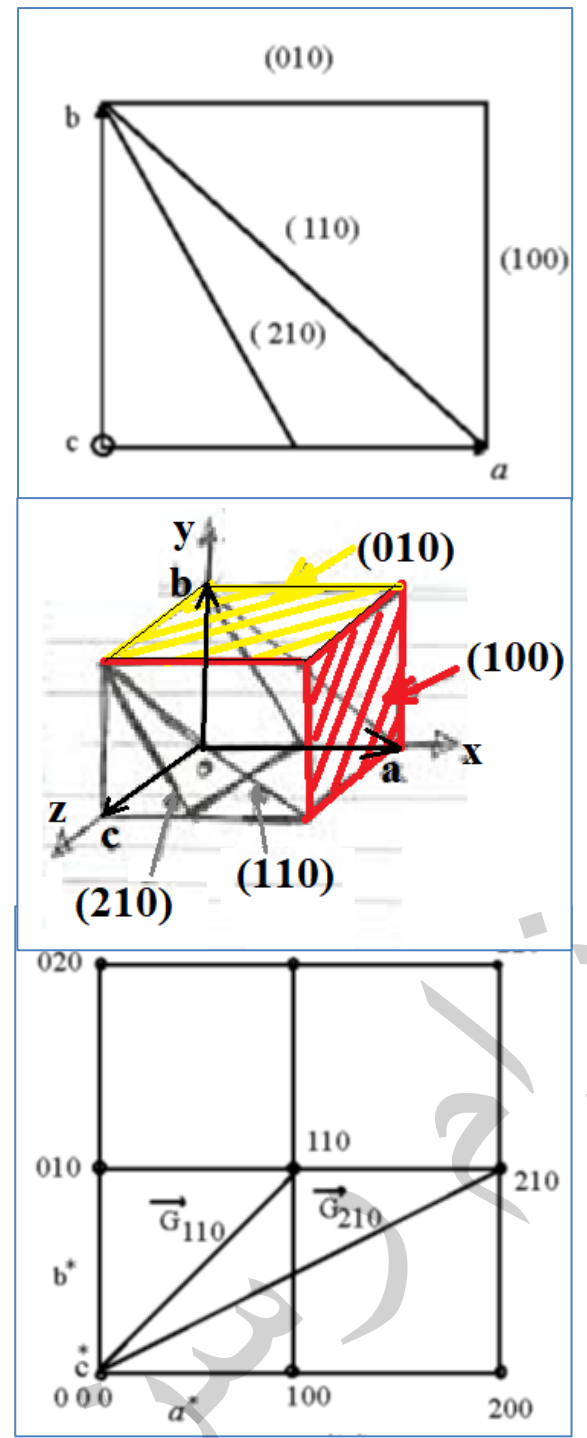
ان اتجاه وطول المتجه الذي يربط نقطة الأصل باية نقطة يميز توجيه وفسحة تلك المجموعة من السطوح التي تمثلها النقطة. ان مثل هذا المتجه يسمى بمتجه الشبيكة المقلوبة A هو عامل مقياس ،  $|\vec{G}| = A \frac{1}{d_{hkl}}$  $2\pi$  الرسم وقيمته اما 1 او

 $A=2\pi$  وسوف نستخدم في فيزياء الحالة الصلبة

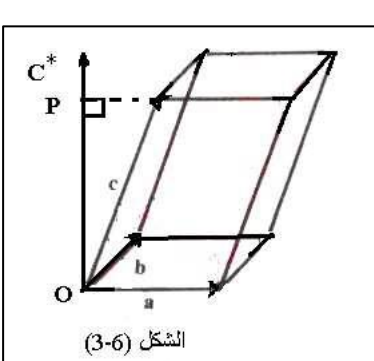
$$\left| ec{G} 
ight| = rac{2\pi}{d_{hkl}}$$
 أي ان متجه الشبيكة المقلوبة هو

الشبيكة المقلوبة: هي عدد غير محدود من نقاط مرتبه بنظام وبشكل دوري في فضاء ثلاثي الابعاد. بحيث ان طول المتجه بين نقطة الأصل واي نقطة في الشبيكة المقلوبة تتناسب عكسياً مع المسافة البينية d في مجموعة من المستويات المتوازية في شبيكة حقيقية. تقاس أطوال المتجهات في الشبيكة المقلوبة بمقلوب وحدات المتجهات في الشبيكة المباشره (الحقيقية) : (m-1) أو (m-1) أو (m-1) .

ملاحظة: الكمية المتجه تكتب بلون غامق او يوضع فوقها سهم.



الفصل الثاني: الحيود في البلورات



Reciprocal lattice vectors متجهات الشبيكة المقلوبة يمكن تحديد الشبيكة المباشرة ( الحقيقية) في فضاء حقيقي بالمحاور الاساسية  $\overline{a}$  و  $\overline{b}$  و بنفس الطريقة يمكن تحديد الشبيكة المقلوبة بمحاور أساسية أخرى. تعرف المتجهات الاساسية لشبيكة المقاوبة بدلالة المتجهات الاساسية للشبيكة  $\overrightarrow{b^*}$  و تقرأ  $\overrightarrow{b}$ و  $\overrightarrow{a}$  و a- star b- star c- star و <del>C</del> .

لاشتقاق العلاقة بين [المتجهات الأساسية للشبيكة الحقيقية (المباشرة)

و بين [متجهات الشبيكة المقلوبة  $\overrightarrow{a}$  (الشبيكة في الفضاء المقلوب -الفضاء  $\overrightarrow{b}$  و  $\overrightarrow{a}$ المعكوس- فضاء فورير) ]، نفرض لدينا خلية من نظام ثلاثي الميل Triclinic ذات محاور أساسية  $\overline{a}$  و و  $\overline{c}$  كما في الشكل:

ان حجم الخلية يساوي مساحة القاعدة في الارتفاع. وان ارتفاع الخلية يساوي  $\operatorname{op}$  ويعادل  $\operatorname{d}_{\operatorname{hkl}}$  والعلاقة  $\frac{Area}{Volume}$  =  $\frac{1}{dout}$  = الحجم تعطى بالصيغة:

 $\vec{a}.\vec{b} imes \vec{c}$  المباشرة) البلورية العادية (الحقيقية – المباشرة) حجم خلية الوحدة في الشبيكة البلورية العادية يمكن إعادة كتابة المعادلة السابقة  $\left(\left|\vec{G}\right| = \frac{2\pi}{d_{DM}}\right)$  بدلالة متجه الشبيكة المقاوبة :

$$\vec{a}$$
 ....  $\vec{b}$  ...  $\vec{c}$  ...  $\vec{c}$  ...  $\vec{d}$  .

$$\overrightarrow{G_{100}} = 2\pi \frac{\overrightarrow{b} \times \overrightarrow{c}}{\overrightarrow{a}.\overrightarrow{b} \times \overrightarrow{c}} \dots \overrightarrow{a}^{*} = 2\pi \frac{\overrightarrow{b} \times \overrightarrow{c}}{\overrightarrow{a}.\overrightarrow{b} \times \overrightarrow{c}} \dots \overrightarrow{a}^{*} \perp \mathbf{b} \times \mathbf{c}$$

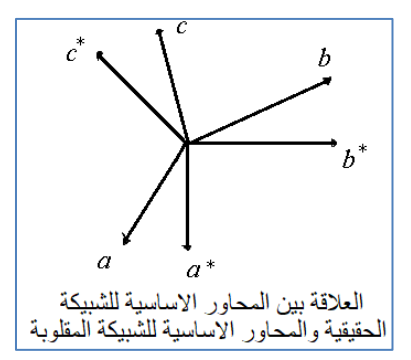
$$\overrightarrow{G_{010}} = 2\pi \frac{\overrightarrow{c} \times \overrightarrow{a}}{\overrightarrow{a}.\overrightarrow{b} \times \overrightarrow{c}} \dots \overrightarrow{b}^{*} = 2\pi \frac{\overrightarrow{c} \times \overrightarrow{a}}{\overrightarrow{a}.\overrightarrow{b} \times \overrightarrow{c}} \dots \overrightarrow{b}^{*} \perp \mathbf{c} \times \mathbf{a}$$

$$\overrightarrow{G_{010}} = 2\pi \frac{\overrightarrow{a} \times \overrightarrow{b}}{\overrightarrow{a}.\overrightarrow{b} \times \overrightarrow{c}} \dots \overrightarrow{c}^{*} = 2\pi \frac{\overrightarrow{a} \times \overrightarrow{b}}{\overrightarrow{a}.\overrightarrow{b} \times \overrightarrow{c}} \dots \overrightarrow{c}^{*} \perp \mathbf{a} \times \mathbf{b}$$

$$\overrightarrow{\boldsymbol{G_{001}}} = 2\pi \frac{\overrightarrow{\boldsymbol{a}} \times \overrightarrow{\boldsymbol{b}}}{\overrightarrow{\boldsymbol{a}} \cdot \overrightarrow{\boldsymbol{b}} \times \overrightarrow{\boldsymbol{c}}} \dots \dots \overrightarrow{\boldsymbol{c}^*} = 2\pi \frac{\overrightarrow{\boldsymbol{a}} \times \overrightarrow{\boldsymbol{b}}}{\overrightarrow{\boldsymbol{a}} \cdot \overrightarrow{\boldsymbol{b}} \times \overrightarrow{\boldsymbol{c}}} \qquad ----- \overrightarrow{\boldsymbol{c}^*} \perp \boldsymbol{a} \times \boldsymbol{b}$$

$$\overrightarrow{a^*} \cdot \overrightarrow{a} = \overrightarrow{b^*} \cdot \overrightarrow{b} = \overrightarrow{c^*} \cdot \overrightarrow{c} = 2\pi$$

$$\overrightarrow{a^*} \cdot \overrightarrow{a} = 2\pi$$
 $\overrightarrow{b^*} \cdot \overrightarrow{a} = 0$ 
 $\overrightarrow{c^*} \cdot \overrightarrow{a} = 0$ 
 $\overrightarrow{c^*} \cdot \overrightarrow{a} = 0$ 
 $\overrightarrow{c^*} \cdot \overrightarrow{b} = 0$ 
 $\overrightarrow{a^*} \cdot \overrightarrow{c} = 0$ 
 $\overrightarrow{b^*} \cdot \overrightarrow{c} = 0$ 
 $\overrightarrow{c^*} \cdot \overrightarrow{c} = 2\pi$ 



البدائية  $\vec{a}$  و  $\vec{b}$  و بهذا يكون المتجه الانتقالي الشبيكي T لاي نقطة بعرف:

$$\overrightarrow{\mathbf{T}} = \mathbf{n}_1 \, \overline{\boldsymbol{a}} + \mathbf{n}_2 \, \overline{\boldsymbol{b}} + \mathbf{n}_3 \, \overline{\boldsymbol{c}}$$
 وبنفس الطريقة يمكن تعريف موقع أي نقطة في الشبيكة المقلوبة بمتجه الشبيكة المقلوبة  $\overrightarrow{b}^* \, \overline{c}^* \, \overline{a}^*$  بدلالة اعداد صحيحة  $\mathbf{b}$  لمحاور الشبيكة المقلوبة نقطة المقلوبة نقطة المقلوبة المقلوبة

$$\overrightarrow{\boldsymbol{G}}_{hkl} = h\overrightarrow{a^*} + k\overrightarrow{b^*} + l\overrightarrow{c^*}$$

m V يتناسب عكسياً مع حجم خلية الوحدة المقلوبة m V يتناسب عكسياً مع حجم خلية الوحدة العادية

$$V^* = \overrightarrow{a^*}.\overrightarrow{b^*} \times \overrightarrow{c^*} \quad \& \quad V = \overrightarrow{a}.\overrightarrow{b} \times \overrightarrow{c} \quad \& \quad V^* \propto \frac{1}{v} \quad \& \quad \overrightarrow{a^*}.\overrightarrow{b^*} \times \overrightarrow{c^*} \propto \frac{1}{\overrightarrow{a}.\overrightarrow{b} \times \overrightarrow{c}}$$

أي ان لكل بلورة شبيكتين ترافقانها وهما الشبيكة البلورية (الحقيقية- المباشرة) والشبيكة المقلوبة. وعندما نستقبل الاشعة السينية بعد حيودها عبر البلورة فاننا نحصل على صورة تعتبر مسحاً للشبيكة المقلوبة وخصائصها.

أي اننا اذا تخيلنا اننا ننظر مباشرة الى البلورة لنبحث عن ترتيب الذرات فيها ، فان هذا يُعد تعاملاً مع البنية البلورية الفعلية (الحقيقية - المباشرة) بينما نموذج الحيود يعتبر خريطة لمقلوب الشبيكة للبلورة. أي ان الصورة التي نحصل عليها بالميكرسكوب الالكتروني هي خريطة للتركيب البلوري الحقيقي. وبالمقابل صورة الفام الفوتو غرافي للاشعة السينية بعد الحيود هي صورة للشبيكة المقلوبة.

## شرط الحيود القصى شدة:-

لغرض الحصول على اقصى شدة للموجة المستطيرة من سطح في بلورة ما يجب ان تتحقق معلى الغرض التحصول على اقصى شدة للموجة المستطيرة من سطح في بلورة ما يجب ان تتحقق معلى الأوي الثلاثة والتي صديعتها بدلالة المتغير الاتجاهي لمتجه الموجة  $\Delta \vec{K}$  وان S , r , q هي اعداد صحيحة .

$$ec{a}$$
.  $\Delta ec{K}=2\pi ext{q}$   $ec{b}$ .  $\Delta ec{K}=2\pi ext{ r}$  معادلات لاوي ......  $ec{c}$ .  $\Delta ec{K}=2\pi ext{ s}$ 

وتتحقق هذه المعادلات الثلاثة آنياً اذا كان التغير الاتجاهي لمتجه جبهة الموجة  $\overrightarrow{\Lambda}$  مساوياً لمتجه الشبكية المقلوبة  $G_{
m hkl}$  و بذلك لحصول على اقصى شدة .

$$\Delta \vec{K} = \vec{G}_{hkl}$$

$$\vec{k} - \vec{k} = ha^* + kb^* + lc^*$$

ان المعادلة اعلاه تعني ان المتجهين متساويين في القيمة والاتجاه (اطوالهما متساوية واحداهما يوازي الأخر وان كليهما متعامدان على السطح hkl في البلورة). وللحصول على المعادلة اعلاه نعمل على تكافؤ شرط براك ولاوي يمكن اثبات ذلك كما يلى:

متجه الموجة الساقطة 
$$= \vec{k}$$
 متجه الموجة المستطيرة  $|\vec{k}-\vec{k}|=|\Delta \vec{K}|=|\vec{G}_{hkl}|$ 

قيمة مطلقة تساوي الاطوال.

#### البناء الهندسي لكرة ايوالد:

- استطاع العالم ايوالد ربط فكرة الشبيكة المقلوبة مع فكرة كرة الانعكاس التي أطلق عليها بكرة ايوالد لتفسير النتائج التجريبية لحيود الاشعة السنبة
- يمكن معرفة المستوى الذي يعمل على استطارة الأشعة السينية من معرفة اتجاه وقيمة الطول الموجى للأشعة الساقطة.
- نفرض ان النقاط المرسومة في الشكل تمثل نقاط في الشبيكة المقلوبة. نرسم متجه CO في اتجاه سقوط الاشعة السينية على ان يكون طوله يساوي  $\left(\frac{1}{\lambda}\right)$  حيث  $\lambda$  تمثل الطول الموجي للأشعة السينية الساقطة ويمر بنقطة فني الشبيكة المقلوبة مثل O.

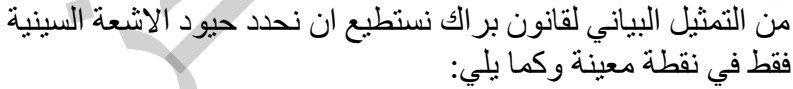
$$\vec{\mathbf{G}} = \frac{2\pi}{d_{hkl}} \ \widehat{\mathbf{n}}$$

 $2d_{hkl} \sin \theta_{hkl} = n\lambda$ 

2025-2024

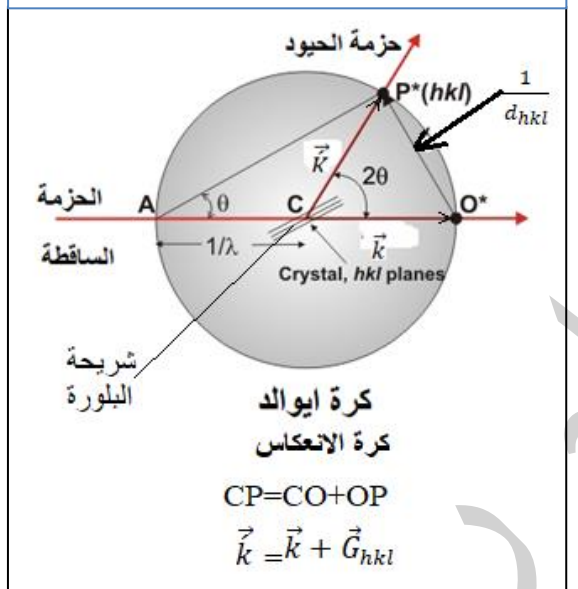
$$\sin \theta_{hkl} = \frac{\lambda}{2d_{hkl}} = \frac{(1/d_{hkl})}{(2/\lambda)}$$

 الان إذا رسم مثلث قائم الزاوية في دائرة سيكون قطرها وتراً له والمثلث سيكون قائم الزاوية، فاذا كان قطر الدائرة  $\frac{2}{2}$  وأحد الساقين المتعامدين للمثلث  $\frac{1}{d_{nu}}$  كانت الزاوية التي تقابل هذا الساق هي  $\theta$  كما في الشكل.



نضع شريحة بلورة في الموقع C

نسقط عليها اشعة سينية طولها الموجى A. من نقطة A PA وبذلك يُكون PA زاوية  $\theta$  الى النقطة P وبذلك يُكون الشعاع الساقط على البلورة. بحيث OP عمودي على سطح البلورة وكذلك على AP وان الزاوية PCO هي 20 ولهذا يكون الشــعاع CP باتجاه الحزمة المنعكسة، حيث ان الشّكل اعلاه يمثل قانون براكّ بدلالة مفاهيم الشبيكة المقلوبة حيث يتحقق قانون براك.



$$G=OP=\frac{1}{d_{hkl}}=\frac{\vec{G}}{2\pi} \qquad \qquad k=CO=\frac{1}{\lambda} \qquad \qquad \acute{k}=CP$$

متجه الموجة المستطيرة $\hat{k}$ متجه الموجة $=\frac{2\pi}{k}$  k = متجه الموجة الساقطة

يحدث انعكاس براك إذا مرت كرة ايوالد (كرة الانعكاس) باي نقطة أخرى في الشبيكة المقلوبة، مثل النقطة  $\overline{G}$  التي تتصل بالنقطة O بواسطة متجه الشبيكة المقلوبة  $\overline{G}$  ويكون اتجاه الشعاع المنعكس

$$\vec{k} = \vec{k} + \vec{G}_{hkl}$$
  $\vec{G}_{hkl} = \Delta \vec{k}$  .  $\vec{k}$  هو (المستطير) هو  $\vec{k}$ 

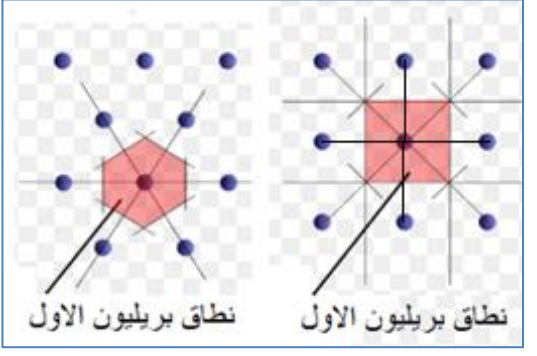
بتربيع طرفي المعادلة (1) وللحيود المرن  $ec{k}=ec{k}$  (لا تغير بالطاقة)

$$ec{k}^2 = (ec{G}_{hkl} + ec{k})^2 = G^2_{hke} + 2ec{G}_{hkl} \cdot ec{k} + ec{k}^2$$
معادلة بر اك للشبيكة المقلوبة  $G^2_{hkl} + 2ec{G}_{hkl} \cdot ec{k} = 0$ معادلة بر اك للشبيكة المقلوبة

 $2d_{hkl} \sin \Theta_{hkl} = n \lambda$ و المعادلة الأخيرة تكافئ معادلة بر اك في الشبيكة الحقيقية

مناطق بريليون Brillouin zones:

المنطقة المحيطة ينقطة شيبكة مقلوية (الشيبكة المعكوسة) في الفضياء المقلوب (فضياء فورير أو فضياء متجه الموجة k) تسمى منطقة او نطاق بريليون الأول. نطاق بريليون الأول: هو أصفر حجم للحيز المحيط او المتمركز حول احدى نقاط الشبكية المقلوبة والمحددة بمجموعة من السطوح التي تكون منصفة وعمودية على متجهات الشببيكة المقلوبة التي تربط تلك النقطة بالنقاط المجاورة بها كما في الشكل.



لتُحديد نطاق بر يليون الاول حول نقطة شبيكة مقلوبة:

1- نربط النقطة بجميع النقاط المجاورة لها بمتجهات.

2 نرسم خطوط مستقيمة (سطوح) بشكل عمودي على هذه المتجهات من نقاط المنتصف.

3- ان أصغر مساحة محصورة بالمستقيمات (السطوح) المرسومة تدعى بنطاق بريليون الأول وحجم منطقة بريليون يعطى:

$$V^* = \mathbf{V}_{BZ} = \overrightarrow{a^*} \cdot \overrightarrow{b^*} \times \overrightarrow{c^*} = \frac{(2\pi)^3}{\mathbf{V}}$$

حيث ان V هو حجم خلية الوحدة الأولية للشبيكة الحقيقية او المباشرة.

ويمكن تعريف منطقة بريليون بانها خلية ويكنر سيتز البدائية في الشبيكة المقلوبة.

 $G^2_{hke} + 2\vec{G}_{hkl}$ .  $\vec{k} = 0$  منطقة بريليون تعطى تفسير هندسى لشروط الحيود متمثلة بالمعادلة  $\mathbf{G}^2_{\mathbf{hke}} = 2 \mathbf{\vec{G}}_{\mathbf{hkl}}$ .  $\mathbf{\vec{k}}$  للحصول على شرط الحيود

# ملاحظة: تصحيح الخطأ في المصادر المعتمدة لمادة فيزياء الحالة الصلبة:

- فيزياء الحالة الصلبة --- تأليف: د. يحيى نوري الجمال صفحة 155 معادلة 4-59 فيزياء الحالة الصلبة ----- تأليف: د. مؤيد جبر ائيّل يوسف صفحة 136 معادلة 2-80

 $\mathbf{V}_{\mathrm{BZ}} = \left(\frac{2\pi}{a}\right)^3$  او  $\mathbf{V}_{\mathrm{BZ}} = \frac{(2\pi)^3}{v}$  الخطأ:  $\mathbf{V}_{\mathrm{BZ}} = \left(\frac{2\pi}{v}\right)^3$ 

تاليف: د. يحيى نوري فيزياء الحالة الصلبة إن حجم كل منطقة من مناطق برليون بعطى في المعادلة (4.59)

بُ ان V بمثل حجم وحدة الخلبة في الشبيكة الحقيقية .  $V_{gz} = \left(\frac{2\pi}{V}\right)$ 

Geometrical Structure Factor الـ 4.1 التركيب الهندسي

كما بينا سابقاً أن شدة انعكاسات الموجات المختلفة تعتمد على مواقع الذرات في وحدة لحلبة وكذلك على التوزيع الالكتروني. لفد وجد أن سعة الموجة المستطيرة تتناسب مع كنة فيزيائية أطلق عليها بعامل التركيب الهندسي. يلعب عامل التركيب الهندسي دوراً الهما باعطاء معلومات بمحدوث أو عدم حدوث ظاهرة الحبود، ويتم ذلك من خلال

نيش المضوح التي مسلم المنظاهر المهمة لدورية المواد الصلبة المتبلوره ويمكن استعمالها المتعالما عليدا لانها نمتل بعس محدود نطاق الصلية . ان مثل هذه السطوح تدعى حدود نطاق برليون في تغير مواضع فيزياء الحالة الصلية . ومن مواصع ميرة (Brillouin zone bounda ويدعى الحجم المحاط والمحدد بتلك السطوح والقرينة جداً من نقطة الأصل بنطاق برليون الأول. ان حجم كل <mark>نطاق برليون هو خلية</mark> لوحدة للشبيكة المقلوبة ذات الحجم المقلوب ( V B z ) النحي يساوي :

حبث ان ٧ هو حجم خلية الوحدة الأولية للشبيكة الحقيقية أو المباشرق ان أنطقة برليون لايقنصر استخدامها في تحليل ننائج حيود الأشعة السينية فقط بل تعدّ ضرورية أيضًا في نظرية أشرطة الطاقة الالكترونية في البلورات ونظرية اهتزاز الشيبكة

فيزياء الحالة الصلبة - تاليف: د. مؤيد جبرائيل يوسف التركيب المندسي Geometrical Structure factor

تقد معادلة برك ( $n\lambda = 2d \sin \theta$ ) أو معادلات لاوي المذكورة في المعادلة تقد معادمه بوت و بسيد . ( ٣٨- ٢) وللكافئة لها . الشرط الأساسي لحدوث حيد مون ومتآلف للأشعة السينية من . مثال: اوجد المتجهات الأساسية للشبيكة المقلوبة لشبيكة مكعب بسيط SC ؟

 $\frac{2\pi}{\alpha}$  مثال: اثبت ان الشبيكة المقلوبة لشبيكة مكعب بسيط هي ايضاً شبيكة مكعب بسيط طول ضلعه  $\frac{2\pi}{\alpha}$ 

$$\vec{a} = a\hat{\mathbf{x}} \qquad \vec{b} = a\hat{\mathbf{y}} \qquad \vec{c} = a\hat{\mathbf{z}}$$

$$\vec{a}^* = 2\pi \frac{\vec{b} \times \vec{c}}{\vec{a} \cdot \vec{b} \times \vec{c}} \qquad \vec{b}^* = 2\pi \frac{\vec{c} \times \vec{a}}{\vec{a} \cdot \vec{b} \times \vec{c}} \qquad \vec{c}^* = 2\pi \frac{\vec{a} \times \vec{b}}{\vec{a} \cdot \vec{b} \times \vec{c}}$$

$$\mathbf{V} = |\vec{a} \times \vec{b} \cdot \vec{c}| = |a\hat{x} \times a\hat{y} \cdot a\hat{z}| = |a^2\hat{z} \cdot a\hat{z}| = |a^3|$$

$$\vec{a}^* = 2\pi \frac{\vec{b} \times \vec{c}}{\vec{a} \cdot \vec{b} \times \vec{c}} = \frac{2\pi}{a^3} (\vec{b} \times \vec{c}) = \frac{2\pi}{a^3} (a\hat{y} \times a\hat{z}) = \frac{2\pi a^2}{a^3} (\hat{y} \times \hat{z}) = \frac{2\pi}{a} \hat{x}$$

$$\vec{a}^* = \frac{2\pi}{a} \hat{x}$$

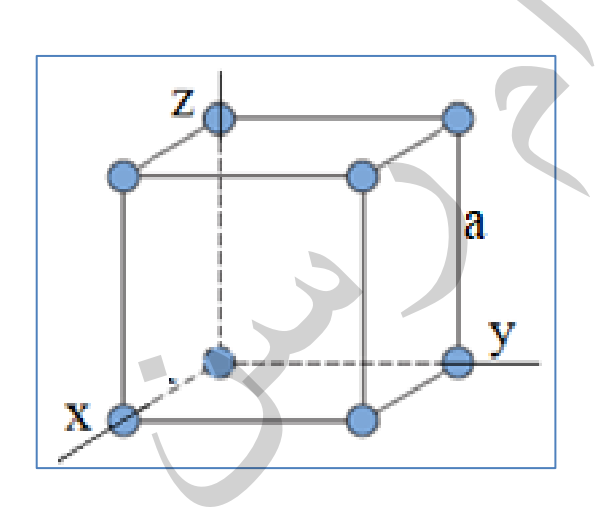
$$\vec{b}^* = 2\pi \frac{\vec{c} \times \vec{a}}{\vec{a} \cdot \vec{b} \times \vec{c}} = \frac{2\pi}{a^3} (\vec{c} \times \vec{a}) = \frac{2\pi}{a^3} (a\hat{z} \times a\hat{x}) = \frac{2\pi a^2}{a^3} (\hat{z} \times \hat{x}) = \frac{2\pi}{a} \hat{y}$$

$$\vec{b}^* = \frac{2\pi}{a} \hat{y}$$

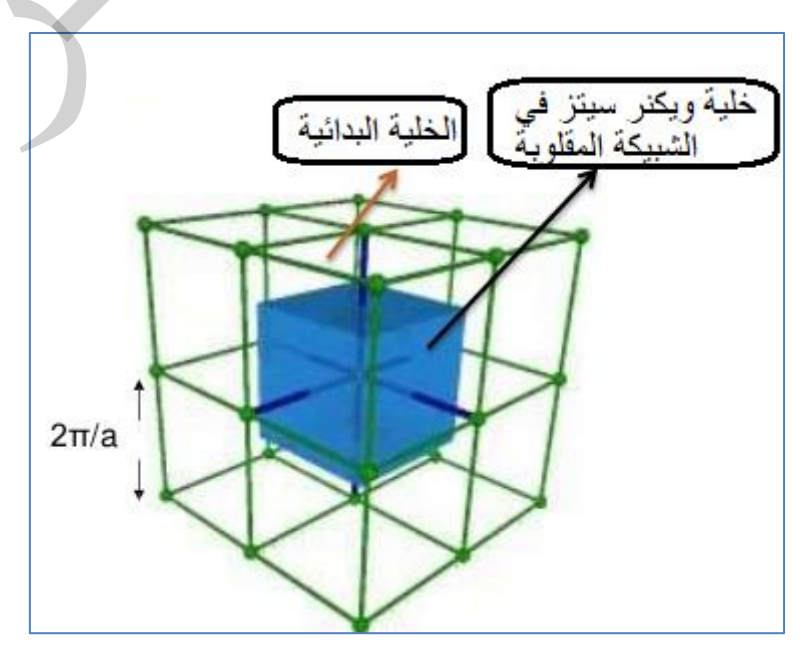
$$\overrightarrow{c^*} = 2\pi \frac{\overrightarrow{a} \times \overrightarrow{b}}{\overrightarrow{a} \overrightarrow{b} \times \overrightarrow{c}} = \frac{2\pi}{a^3} (\overrightarrow{a} \times \overrightarrow{b}) = \frac{2\pi}{a^3} (a\hat{\mathbf{x}} \times a\hat{\mathbf{y}}) = \frac{2\pi a^2}{a^3} (\hat{\mathbf{x}} \times \hat{\mathbf{y}}) = \frac{2\pi}{a} \hat{\mathbf{z}}$$

$$\overrightarrow{c^*} = \frac{2\pi}{a} \hat{\mathbf{z}}$$

$$\vec{G}_{hkl} = h\vec{a}^* + k\vec{b}^* + l\vec{c}^* 
\vec{G}_{hkl} = h\frac{2\pi}{a}\hat{\mathbf{x}} + k\frac{2\pi}{a}\hat{\mathbf{y}} + l\frac{2\pi}{a}\hat{\mathbf{z}} \quad \dots \quad \vec{G}_{hkl} = \frac{2\pi}{a}(h\hat{\mathbf{x}} + k\hat{\mathbf{y}} + l\hat{\mathbf{z}}) 
V^* = \mathbf{V}_{BZ} = \vec{a}^* \cdot \vec{b}^* \times \vec{c}^* = \frac{2\pi}{a}\hat{\mathbf{x}} \cdot \frac{2\pi}{a}\hat{\mathbf{y}} \times \frac{2\pi}{a}\hat{\mathbf{z}} = \frac{2\pi}{a}\hat{\mathbf{x}} \cdot \frac{4\pi^2}{a^2}\hat{\mathbf{x}} = \frac{(2\pi)^3}{a^3} = \frac{(2\pi)^3}{\mathbf{v}}$$



الشبيكة البلورية (الحقيقية او المباشرة)



الشبيكة المقلوبة (الشبيكة المعكوسة)

مثال: اوجد المتجهات الأساسية للشبيكة المقلوبة لشبيكة مكعب متمركز الجسم BCC ؟ مثال: اثبت ان الشبيكة المقلوبة لمكعب BCC هي شبيكة مكعب FCC ؟

$$\vec{a} = \frac{1}{2}a(-\hat{x} + \hat{y} + \hat{z})$$
$$\vec{b} = \frac{1}{2}a(\hat{x} - \hat{y} + \hat{z})$$

$$\hat{x}$$
 +  $\hat{y}$ 

$$\vec{c} = \frac{1}{2}a(\hat{x} + \hat{y} - \hat{z})$$

$$V = \left| ec{a} imes ec{b} \cdot ec{c} 
ight| = rac{1}{2} a^3$$
 تم اثباتها في الفصل الأول

$$\overrightarrow{\boldsymbol{a}^*} = 2\pi \frac{\overrightarrow{\boldsymbol{b}} \times \overrightarrow{\boldsymbol{c}}}{\overrightarrow{\boldsymbol{a}}.\overrightarrow{\boldsymbol{b}} \times \overrightarrow{\boldsymbol{c}}} \quad \overrightarrow{\boldsymbol{b}^*} = 2\pi \frac{\overrightarrow{\boldsymbol{c}} \times \overrightarrow{\boldsymbol{a}}}{\overrightarrow{\boldsymbol{a}}.\overrightarrow{\boldsymbol{b}} \times \overrightarrow{\boldsymbol{c}}} \quad \overrightarrow{\boldsymbol{c}^*} = 2\pi \frac{\overrightarrow{\boldsymbol{a}} \times \overrightarrow{\boldsymbol{b}}}{\overrightarrow{\boldsymbol{a}}.\overrightarrow{\boldsymbol{b}} \times \overrightarrow{\boldsymbol{c}}}$$

$$\overrightarrow{a}^* = 2\pi \frac{\overrightarrow{b} \times \overrightarrow{c}}{\overrightarrow{a} \cdot \overrightarrow{b} \times \overrightarrow{c}} = \frac{2\pi}{\frac{1}{2}a^3} (\overrightarrow{b} \times \overrightarrow{c}) = \frac{4\pi}{a^3} (\overrightarrow{b} \times \overrightarrow{c})$$

$$\overrightarrow{b} = \frac{a}{2} \widehat{x} - \frac{a}{2} \widehat{y} + \frac{a}{2} \widehat{z}$$

$$\overrightarrow{c} = \frac{a}{2} \widehat{x} + \frac{a}{2} \widehat{y} - \frac{a}{2} \widehat{z}$$

$$(\vec{b} \times \vec{c}) = \begin{vmatrix} \hat{x} & \hat{y} & \hat{z} \\ \frac{a}{2} & -\frac{a}{2} & \frac{a}{2} \\ \frac{a}{2} & \frac{a}{2} & -\frac{a}{2} \end{vmatrix}$$

$$(\overrightarrow{b} \times \overrightarrow{c}) = \begin{vmatrix} \widehat{x} & \widehat{y} & \widehat{z} \\ \frac{a}{2} & -\frac{a}{2} & \frac{a}{2} \\ \frac{a}{2} & \frac{a}{2} & -\frac{a}{2} \end{vmatrix} \underbrace{\begin{vmatrix} \widehat{x} & \widehat{y} & \widehat{z} \\ \frac{a}{2} & -\frac{a}{2} & \frac{a}{2} \\ \frac{a}{2} & \frac{a}{2} & -\frac{a}{2} \end{vmatrix}}_{\frac{a}{2}} \underbrace{\begin{vmatrix} \frac{a}{2} & \frac{a}{2} & -\frac{a}{2} \\ \frac{a}{2} & \frac{a}{2} & -\frac{a}{2} \end{vmatrix}}_{\frac{a}{2}}$$

$$\overrightarrow{b} \times \overrightarrow{c} = \left( \frac{a^2}{4} - \frac{a^2}{4} \right) \widehat{x} + \left( \frac{a^2}{4} + \frac{a^2}{4} \right) \widehat{y} + \left( \frac{a^2}{4} + \frac{a^2}{4} \right) \widehat{z} = \underbrace{\frac{a^2}{2}}_{2} \widehat{y} + \underbrace{\frac{a^2}{2}}_{2} \widehat{z}$$

$$\overrightarrow{a}^* = \underbrace{\frac{4\pi}{a^3}}_{3} (\overrightarrow{b} \times \overrightarrow{c}) = \underbrace{\frac{4\pi}{a^3}}_{3} \left( \underbrace{\frac{a^2}{2}}_{2} (\widehat{y} + \widehat{z}) \right) = \underbrace{\frac{2\pi}{a}}_{3} (\widehat{y} + \widehat{z})$$

$$\overrightarrow{a^*} = \frac{2\pi}{a}(\widehat{y} + \widehat{z})$$

$$\overrightarrow{\boldsymbol{b}^*} = \frac{2\pi}{3}(\hat{\mathbf{x}} + \hat{\mathbf{z}}) \qquad \overrightarrow{\boldsymbol{c}^*} = \frac{2\pi}{3}(\hat{\mathbf{x}} + \hat{\mathbf{y}})$$

وبنفس الطريقة يمكن اثبات

FCC المتجهات الانتقالية الأساسية للشبيكة المقلوبة  $(\overrightarrow{a^*} \ \overrightarrow{b^*} \ \overrightarrow{c^*})$  هنا تمثل شبيكة مكعب

مثال: اوجد المتجهات الأساسية للشبيكة المقلوبة لشبيكة مكعب متمركز الاوجه FCC ؟ مثال: اثبت ان الشبيكة المقلوبة لمكعب FCC هي شبيكة مكعب BCC ؟

$$\vec{a} = \frac{1}{2} a(\hat{\mathbf{y}} + \hat{\mathbf{z}})$$

$$\vec{b} = \frac{1}{2}a(\hat{\mathbf{x}} + \hat{\mathbf{z}})$$

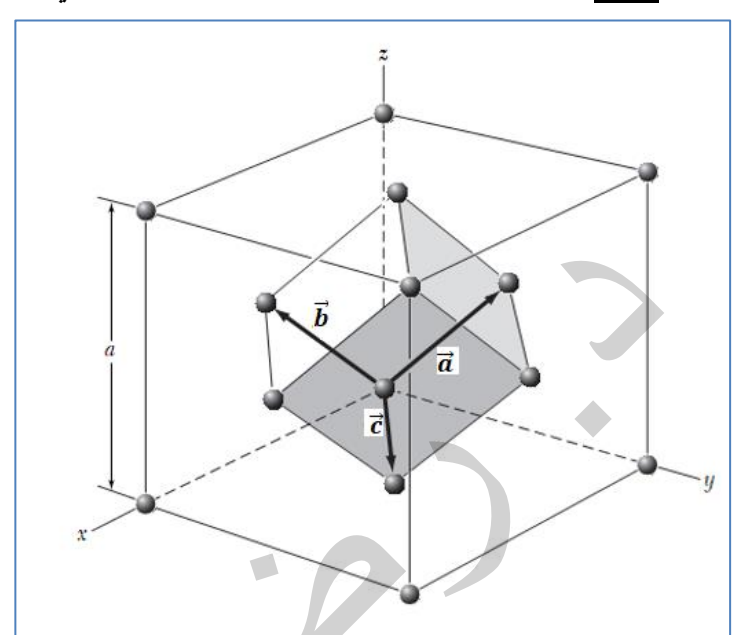
$$\vec{c} = \frac{1}{2}a(\hat{x} + \hat{y})$$

$$\mathbf{V} = \left| \overrightarrow{\mathbf{a}} \cdot \overrightarrow{\mathbf{b}} \times \overrightarrow{\mathbf{c}} \right| = \frac{1}{4} a^3$$

حجم الخلية الاولية لشبيكة مكعب متمركز الاوجه تم اثباتها في الفصل الاول

$$\overrightarrow{a^*} = 2\pi \frac{\overrightarrow{b} \times \overrightarrow{c}}{\overrightarrow{a}.\overrightarrow{b} \times \overrightarrow{c}} \qquad \overrightarrow{b^*} = 2\pi \frac{\overrightarrow{c} \times \overrightarrow{a}}{\overrightarrow{a}.\overrightarrow{b} \times \overrightarrow{c}}$$

$$\overrightarrow{c^*} = 2\pi \frac{\overrightarrow{a} \times \overrightarrow{b}}{\overrightarrow{a}.\overrightarrow{b} \times \overrightarrow{c}}$$



$$\overrightarrow{a^*} = 2\pi \frac{\overrightarrow{b} \times \overrightarrow{c}}{\overrightarrow{a} \cdot \overrightarrow{b} \times \overrightarrow{c}} = \frac{2\pi}{\frac{1}{4}a^3} (\overrightarrow{b} \times \overrightarrow{c}) = \frac{8\pi}{a^3} (\overrightarrow{b} \times \overrightarrow{c})$$

$$\overrightarrow{b} = \frac{a}{a} \widehat{x} + \frac{a}{a} \widehat{z}$$

$$\overrightarrow{c} = \frac{a}{a} \widehat{x} + \frac{a}{a} \widehat{y}$$

$$\vec{b} = \frac{a}{2}\hat{x} + \frac{a}{2}\hat{z} \qquad \vec{c} = \frac{a}{2}\hat{x} + \frac{a}{2}\hat{y}$$

$$(\overrightarrow{b} \times \overrightarrow{c}) = \begin{vmatrix} \widehat{x} & \widehat{y} & \widehat{z} \\ \frac{a}{2} & 0 & \frac{a}{2} \\ \frac{a}{2} & \frac{a}{2} & 0 \end{vmatrix} \qquad (\overrightarrow{b} \times \overrightarrow{c}) = \begin{vmatrix} \widehat{x} & \widehat{y} & \widehat{z} \\ \frac{a}{2} & 0 & \frac{a}{2} \\ \frac{a}{2} & \frac{a}{2} & 0 \end{vmatrix} \begin{vmatrix} \widehat{x} & \widehat{y} & \widehat{z} \\ \frac{a}{2} & 0 & \frac{a}{2} \\ \frac{a}{2} & \frac{a}{2} & 0 \end{vmatrix}$$

$$\vec{b} \times \vec{c} = \left(0 - \frac{a^2}{4}\right)\hat{x} + \left(\frac{a^2}{4} - 0\right)\hat{y} + \left(\frac{a^2}{4} - 0\right)\hat{z}$$
$$= -\frac{a^2}{4}\hat{x} + \frac{a^2}{4}\hat{y} + \frac{a^2}{4}\hat{z} = \frac{a^2}{4}(-\hat{x} + \hat{y} + \hat{z})$$

$$\overrightarrow{a^*} = \frac{8\pi}{a^3} (\overrightarrow{b} \times \overrightarrow{c}) = \frac{8\pi}{a^3} \left( \frac{a^2}{4} (-\widehat{x} + \widehat{y} + \widehat{z}) \right) = \frac{2\pi}{a} (-\widehat{x} + \widehat{y} + \widehat{z})$$

$$\overrightarrow{a^*} = \frac{2\pi}{a}(-\widehat{x} + \widehat{y} + \widehat{z})$$

وينفس الطريقة يمكن اثبات

$$\overrightarrow{\boldsymbol{b}^*} = \frac{2\pi}{a}(\hat{\mathbf{x}} - \hat{\mathbf{y}} + \hat{\mathbf{z}}) \qquad \overrightarrow{\boldsymbol{c}^*} = \frac{2\pi}{a}(\hat{\mathbf{x}} + \hat{\mathbf{y}} - \hat{\mathbf{z}})$$

BCC المتجهات الانتقالية الأساسية للشبيكة المقلوبة  $(\overrightarrow{a^*} \ \overrightarrow{b^*} \ \overrightarrow{c^*})$  هنا تمثل شبيكة مكعب

مثال: برهن على ان متجه الشبيكة المقلوبة  $\overrightarrow{G}_{hkl}$  يكون عمودياً على المستوي (hkl)? الجواب: لإثبات أن متجه الشبيكة المقلوبة  $\overrightarrow{G}_{hkl}=h\overline{a^*}+k\overline{b^*}+l\overline{c^*}$  عمودي على المستوي (hkl). يكفي ان نثبت ان  $\overrightarrow{G}_{hkl}$  عمودي على متجهين غير متوازيين في هذا المستوي. المستوي البلوري الذي معاملات ميلر له هي hkl هو مستوي يُعرف بالنقاط  $\frac{a}{h}, \frac{b}{k}, \frac{c}{l}$ 

يمكن ان ناخذ المتجهين  $\left(\frac{\vec{a}}{h}-\frac{\vec{b}}{k}\right)$  and  $\left(\frac{\vec{a}}{h}-\frac{\vec{c}}{l}\right)$  اللذان يقعان في هذا المستوي. فاذا كان حاصل الضرب العددي لهذيين المتجهين مع متجه الشبكة المقلوبة  $\overrightarrow{G}_{hkl}$  يكون عمودياً على سطح البلورة (hkl)

$$\vec{\mathbf{G}} \cdot \left(\frac{\vec{a}}{h} - \frac{\vec{b}}{k}\right) = 0 \quad (\theta = 90) \quad \rightarrow \quad \cos\theta = 0 \quad \rightarrow \quad \vec{\mathbf{G}} \perp (hkl)$$

$$\vec{\mathbf{G}} \cdot \left(\frac{\vec{a}}{h} - \frac{\vec{b}}{k}\right) = \left(h\vec{a}^* + k\vec{b}^* + l\vec{c}^*\right) \cdot \left(\frac{\vec{a}}{h} - \frac{\vec{b}}{k}\right)$$

$$= \frac{h}{h} (\vec{a}^* \cdot \vec{a}) - \frac{h}{k} (\vec{a}^* \cdot \vec{b}) + \frac{k}{h} (\vec{b}^* \cdot \vec{a}) - \frac{k}{k} (\vec{b}^* \cdot \vec{b}) + \frac{l}{h} (\vec{c}^* \cdot \vec{a})$$

$$- \frac{l}{k} (\vec{c}^* \cdot \vec{b})$$

$$\vec{a}^* \cdot \vec{a} = 2\pi \qquad \vec{b}^* \cdot \vec{a} = 0$$

$$\vec{a}^* \cdot \vec{b} = 0 \qquad \vec{b}^* \cdot \vec{b} = 2\pi \qquad \vec{c}^* \cdot \vec{b} = 0$$

$$\vec{a}^* \cdot \vec{c} = 0 \qquad \vec{b}^* \cdot \vec{c} = 0$$

$$\vec{c}^* \cdot \vec{c} = 2\pi$$

$$\vec{c}^* \cdot \vec{c} = 2\pi$$

$$\vec{c}^* \cdot \vec{c} = 2\pi$$

بنفس الطريقة  $\vec{\mathbf{G}}\cdot\left(rac{ec{a}}{h}-rac{ec{c}}{l}
ight)=0$ 

(hkl) يكون عمودياً على سطح البلورة  $\overrightarrow{G}_{hkl}$  يكون عمودياً على سطح البلورة مثل: اثبت انه لشبيكة مكعب بسيط  $d^2=rac{a^2}{(h^2+k^2+l^2)}$  باستعمال أفكار الشبيكة المقلوبة؟

$$\vec{\mathbf{a}} = a\hat{\mathbf{x}} \qquad \vec{\mathbf{b}} = a\hat{\mathbf{y}} \qquad \vec{\mathbf{c}} = a\hat{\mathbf{z}}$$

$$\vec{\mathbf{a}}^* = \frac{2\pi}{a}\hat{\mathbf{x}} \qquad \vec{\mathbf{b}}^* = \frac{2\pi}{a}\hat{\mathbf{y}} \qquad \vec{\mathbf{c}}^* = \frac{2\pi}{a}\hat{\mathbf{z}}$$

$$\vec{\mathbf{G}}_{hkl} = h\vec{a}^* + k\vec{b}^* + l\vec{c}^* \qquad \vec{\mathbf{G}}_{hkl} = h\frac{2\pi}{a}\hat{\mathbf{x}} + k\frac{2\pi}{a}\hat{\mathbf{y}} + l\frac{2\pi}{a}\hat{\mathbf{z}}$$

$$\begin{aligned} |\vec{\mathbf{G}}| &= \sqrt{\left(\frac{2\pi h}{a}\right)^2 + \left(\frac{2\pi k}{a}\right)^2 + \left(\frac{2\pi l}{a}\right)^2} = \frac{2\pi}{a}\sqrt{h^2 + k^2 + l^2} \\ d_{hkl} &= \frac{2\pi}{|\vec{\mathbf{G}}_{hkl}|} = \frac{2\pi}{\frac{2\pi}{a}\sqrt{h^2 + k^2 + l^2}} \\ d_{hkl} &= \frac{a}{\sqrt{h^2 + k^2 + l^2}} \end{aligned}$$

عامل التركيب الهندسي:

هو النسبة بين سعة الموجة المستطيرة من جميع الذرات الموجودة في خلية الوحدة من بلورة وسعة الموجة المستطيرة من الكترون حر طليق عند تعرض كل منهما الى حزمة من الاشعة السينية الساقطة نفسها.

اما سبب تسميته بعامل التركيب الهندسي  $F_{hkl}$  فيعود الى انه يمثل محصلة سعة الموجات المستطيرة من الذرات المختلفة، التي تكون عادة متباينة الاطوار بسبب اختلاف مواضع الذرات داخل خلية الوحدة الصادرة عنها تلك الموجات، وفضلاً عن ذلك، قد تكون السعات متباينة في القيمة ايضاً نتيجة اختلاف أنواع الذرات في خلية الوحدة وثم اختلاف العدد والتوزيع الالكتروني للانواع المختلفة من الذرات مما يسبب تبايناً في قدرتها على التشتيت. وإن الذرات تكون مختلفة في عدد الالكترونات المكونة لكل منها ، يتسبب ذلك في قدرتها المختلفة على الاستطارة .

$$F_{(hkl)} = \sum_{n=1}^{n=N} f_n exp[2\pi i (u_n h + v_n k + w_n l)]$$

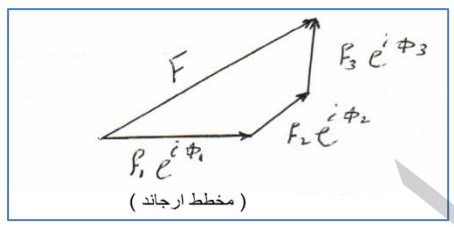
ونلاحظ بان عامل التركيب الهندسي  $F_{hkl}$  كمية مركبة تحتوي حد حقيقي وحد خيالي و هو يعتمد على:

1- العدد الكلي للذرات N في وحدة الخلية.

 $u_n \, v_n \, w_n$  في وحدة الخلية.  $u_n \, v_n \, w_n$ 

 $f_n$  في وحدة الخلية وهذه القابلية تعتمد على التوزيع  $f_n$  في وحدة الخلية وهذه القابلية تعتمد على التوزيع الالكتروني لكل ذرة وعوامل أخرى.

فرق الطور بين الحزمة المستطيرة من الذرة n وتلك الحزمة المستطيرة من الذرة الأولى الواقعة في نقطة أصل خلية الوحدة



$$egin{aligned} \Phi_n &= 2\pi i ( \mathrm{u_n} h + \mathrm{v_n} k + \mathrm{w_n} l ) \ &= \mathrm{u_n, v_n, w_n} \ \mathrm{u_n, v_n, w_n} \ \mathrm{hkl} &= \sum_{n=1}^{n=N} f_n \ e^{i \Phi_n} \ \mathrm{F_{hkl}} &= f_1 + f_2 e^{i \Phi_2} + f_3 e^{i \Phi_3} + \dots f_N \ e^{i \Phi_N} \end{aligned}$$

 $f_n$ : قابلية الاستطارة حيث  $f_1$  للذرة الأولى  $f_2$  للذرة الثانية ...... وان  $f_n$  يتمثل بالجمع الاتجاهي لسعة المويجات المستطيرة من جميع الذرات في خلية الوحدة ، كما في المخطط (مخطط ارجاند) لثلاث ذرات. وبما ان المعادلة تتضمن  $e^{i\phi}$  و الذي يساوي

$$e^{i\Phi} = \cos \Phi + i \sin \Phi$$

اذن ستكون المعادلة (1)

$$F_{
m hkl} = \sum_{n=1}^{n=N} f_n \cos\!\Phi_{
m n} + \sum_{n=1}^{n=N} f_n \ {
m i} \, \sin\!\Phi$$
 اذن الشدة تتناسب مع مربع السعة ولحساب  $F^2_{
m (hkl)}$  :

- 1- عدد نقاط السبيكة في خلية الوحدة
- 2- نوع ذرات الأساس ومواقعها بالنسبة لنقطة الاصل
- 3- دلائل أو معاملات ميلر للمستوي المراد حساب عامل التركيب له
- 4- قدرة تشتت كل ذرة من ذرات الأساس (أي معرفة عامل التشتت لكل نوع من ذرات وحدة الخلية).

$$e^{i\theta} = \cos \theta + i \sin \theta$$
 ملاحظة: تذكران:

$$e^{-i2\pi}=e^{i2\pi}=\cos 2\pi \mp i\sin 2\pi=1+0=1=e^{-i\pi(e^{-i\pi}(e^{-i\pi}))}=e^{i\pi}(e^{-i\pi})=e^{i\pi}=e^{i\pi}=e^{i\pi}=\cos \pi \mp i\sin \pi=-1+0=1=e^{-i\pi(e^{-i\pi})}=e^{i\pi}(e^{-i\pi})=e^{i\pi}(e^{-i\pi})=e^{i\pi}(e^{-i\pi})=e^{i\pi}(e^{-i\pi})=e^{i\pi}(e^{-i\pi})=e^{i\pi}(e^{-i\pi})=e^{i\pi}(e^{-i\pi})=e^{i\pi}(e^{-i\pi})=e^{i\pi}(e^{-i\pi})=e^{i\pi}(e^{-i\pi})=e^{i\pi}(e^{-i\pi})=e^{i\pi}(e^{-i\pi})=e^{i\pi}(e^{-i\pi})=e^{i\pi}(e^{-i\pi})=e^{i\pi}(e^{-i\pi})=e^{i\pi}(e^{-i\pi})=e^{i\pi}(e^{-i\pi})=e^{i\pi}(e^{-i\pi})=e^{i\pi}(e^{-i\pi})=e^{i\pi}(e^{-i\pi})=e^{i\pi}(e^{-i\pi})=e^{i\pi}(e^{-i\pi})=e^{i\pi}(e^{-i\pi})=e^{i\pi}(e^{-i\pi})=e^{i\pi}(e^{-i\pi})=e^{i\pi}(e^{-i\pi})=e^{i\pi}(e^{-i\pi})=e^{i\pi}(e^{-i\pi})=e^{i\pi}(e^{-i\pi})=e^{i\pi}(e^{-i\pi})=e^{i\pi}(e^{-i\pi})=e^{i\pi}(e^{-i\pi})=e^{i\pi}(e^{-i\pi})=e^{i\pi}(e^{-i\pi})=e^{i\pi}(e^{-i\pi})=e^{i\pi}(e^{-i\pi})=e^{i\pi}(e^{-i\pi})=e^{i\pi}(e^{-i\pi})=e^{i\pi}(e^{-i\pi})=e^{i\pi}(e^{-i\pi})=e^{i\pi}(e^{-i\pi})=e^{i\pi}(e^{-i\pi})=e^{i\pi}(e^{-i\pi})=e^{i\pi}(e^{-i\pi})=e^{i\pi}(e^{-i\pi})=e^{i\pi}(e^{-i\pi})=e^{i\pi}(e^{-i\pi})=e^{i\pi}(e^{-i\pi})=e^{i\pi}(e^{-i\pi})=e^{i\pi}(e^{-i\pi})=e^{i\pi}(e^{-i\pi})=e^{i\pi}(e^{-i\pi})=e^{i\pi}(e^{-i\pi})=e^{i\pi}(e^{-i\pi})=e^{i\pi}(e^{-i\pi})=e^{i\pi}(e^{-i\pi})=e^{i\pi}(e^{-i\pi})=e^{i\pi}(e^{-i\pi})=e^{i\pi}(e^{-i\pi})=e^{i\pi}(e^{-i\pi})=e^{i\pi}(e^{-i\pi})=e^{i\pi}(e^{-i\pi})=e^{i\pi}(e^{-i\pi})=e^{i\pi}(e^{-i\pi})=e^{i\pi}(e^{-i\pi})=e^{i\pi}(e^{-i\pi})=e^{i\pi}(e^{-i\pi})=e^{i\pi}(e^{-i\pi})=e^{i\pi}(e^{-i\pi})=e^{i\pi}(e^{-i\pi})=e^{i\pi}(e^{-i\pi})=e^{i\pi}(e^{-i\pi})=e^{i\pi}(e^{-i\pi})=e^{i\pi}(e^{-i\pi})=e^{i\pi}(e^{-i\pi})=e^{i\pi}(e^{-i\pi})=e^{i\pi}(e^{-i\pi})=e^{i\pi}(e^{-i\pi})=e^{i\pi}(e^{-i\pi})=e^{i\pi}(e^{-i\pi})=e^{i\pi}(e^{-i\pi})=e^{i\pi}(e^{-i\pi})=e^{i\pi}(e^{-i\pi})=e^{i\pi}(e^{-i\pi})=e^{i\pi}(e^{-i\pi})=e^{i\pi}(e^{-i\pi})=e^{i\pi}(e^{-i\pi})=e^{i\pi}(e^{-i\pi})=e^{i\pi}(e^{-i\pi})=e^{i\pi}(e^{-i\pi})=e^{i\pi}(e^{-i\pi})=e^{i\pi}(e^{-i\pi})=e^{i\pi}(e^{-i\pi})=e^{i\pi}(e^{-i\pi})=e^{i\pi}(e^{-i\pi})=e^{i\pi}(e^{-i\pi})=e^{i\pi}(e^{-i\pi})=e^{i\pi}(e^{-i\pi})=e^{i\pi}(e^{-i\pi})=e^{i\pi}(e^{-i\pi})=e^{i\pi}(e^{-i\pi})=e^{i\pi}(e^{-i\pi})=e^{i\pi}(e^{-i\pi})=e^{i\pi}(e^{-i\pi})=e^{i\pi}(e^{-i\pi})=e^{i\pi}(e^{-i\pi})=e^{i\pi}(e^{-i\pi})=e^{i\pi}(e^{-i\pi})=e^{i\pi}(e^{-i\pi})=e^{i\pi}(e^{-i\pi})=e^{i\pi}(e^{-i\pi})=e^{i\pi}(e^{-i\pi})=e^{i\pi}(e^{-i\pi})=e^{i\pi}(e^{-i\pi})=e^{i\pi}(e^{-i\pi})=e^{i\pi}(e^{-i\pi})=e^{i\pi}(e^{-i\pi})=e^{i\pi}(e^{-i\pi})=e^{i\pi}(e^{-i\pi})=e^{i\pi$$

مثال1: حساب عامل التركيب الهندسي لشبيكة مكعب بسيط (SC)

توجد نقطة شبيكة واحدة في خلية الوحدة لشبيكة مكعبة بسيطة (SC) وعندما يكون الاساس المرافق لهذه  $\mathbf{u} = \mathbf{v} = \mathbf{w} = 0$  النقطة مكوناً من ذرة واحدة فقط، فان موقع هـــذه الذرة سيكـــون في

$$\begin{cases}
F_{(hkl)} = \sum_{n=1}^{n=N} f_n exp[2\pi i (\mathbf{u}_n h + \mathbf{v}_n k + \mathbf{w}_n l)] \\
F_{n+n} = f_0 e^{2\pi i (\mathbf{u}_n h + \mathbf{v}_n k + \mathbf{w}_n l)} = f_0 e^{2\pi i (0h + 0k + 0l)} = f_0
\end{cases}$$

 $F_{(hkl)} = f e^{2\pi i (\mathbf{u}_{n}h + \mathbf{v}_{n}k + \mathbf{w}_{n}l)} = f e^{2\pi i (0h + 0k + 0l)} = f$ 

 $I \propto |F_{hkl}|^2 = f^2$ 

اي ان عامل التركيب لاي سطح (hkl) في شبيكة (SC) يساوي قدرة استطارة الذرة الوحيدة في خلية الوَّحدة. وهذا يعني ان أيّ سطح يحقق قانون براك توجد له قيمة لشّدة الموجة المستطارة تتناسب مع مربع  $d_{hkl}$  قدرة استطارة الذرة  $f^2$ . ولما كانت f لاي سطح (hkl) تتناسب عكسياً مع  $\frac{\sin\theta}{\lambda}$  او طردياً مع لذلك السطح. لذا سيكون هنالك انخفاض في قيم شدة الموجة المستطيرة من مستويات شبيكة البلورة كلما از دادت قيم دلائل ميلر للسطح المشتت للاشعة السينية. وفي الواقع لا توجد بلورات حقيقية ذات شبيكة sc وباساس مكون من ذرة واحدة. أي ان هذا المثال هو مثال خيالي غير واقعي.

مثال2: احسب عامل التركيب لشبيكة مكعب متمركز الجسم (BCC).

 $rac{1}{2} rac{1}{2} rac{1}{2}$  000 N=2 متساوية ,  $f_2 = f_1$  اذا كانت الذرتان متشابهتان يعني

 $u_1=0$   $v_1=0$   $w_1=0$  موقع الذرة الأولى  $u_2=rac{1}{2}$   $v_2=rac{1}{2}$   $w_2=rac{1}{2}$  موقع الذرة الثانية

$$\left\{ F_{(hkl)} = \sum_{\substack{n=1\\n-2}}^{n=N} f_n exp[2\pi i (\mathbf{u}_n h + \mathbf{v}_n k + \mathbf{w}_n l)] \right\}$$

$$F_{(hkl)} = \sum_{n=1}^{h-2} f_n e^{2\pi i (\mathbf{u}_n h + \mathbf{v}_n k + \mathbf{w}_n l)}$$

$$F_{(hkl)} = f \left[ e^{2\pi i(0h+0k+0l)} + e^{2\pi i \left(\frac{1}{2}h + \frac{1}{2}k + \frac{1}{2}l\right)} \right]$$

$$F_{(hkl)} = f \left[ 1 + e^{\pi i(h+k+l)} \right] \dots \dots \dots \dots \dots$$

عامل التركيب هنا يعتمد على الحد $e^{i\pi(h+k+l)}$  وكما يلى :-

اذا کان (h+k+1) مجموعهم عدد فردي (a)

 $e^{-i\pi} = e^{i\pi} = \cos \pi + i \sin \pi = -1 + 0 = -1 = e^{-i\pi(\iota_{(2})} = e^{i\pi(\iota_{(2})} = e^{i\pi(\iota_{(2})})$ وبالتعويض في معادلة 2 سيكون عامل التركيب:

 $F_{(hkl)} = f[1-1] = 0$ 

 $\{F_{hkl}=0\}$  فان عامل التركيب:  $\{(h+k+l)=0\}$  فان عامل التركيب:  $\{F_{hkl}=0\}$  $I \propto |F_{hkI}|^2 = 0$  انعكاس مفقود (غائب) -- والشدة ستكون:

اما اذا كان مجموع (h+k+l) هو عدد زوجي

 $e^{-i2\pi} = e^{i2\pi} = \cos 2\pi + i \sin 2\pi = 1 + 0 = 1 = e^{-i\pi(e^{-i\pi}(e^{-i\pi}))} = e^{i\pi(e^{-i\pi})}$ 

وعند التعويض بالمعادلة 2 سيكون عامل التركيب:-

 $F_{hkl} = f [1+1] = 2f$ 

 $\{F_{hkl}=2f\}$  فان عامل التركيب:  $\{h+k+l=2f\}$  فان عامل التركيب:  $I \propto |F_{hkl}|^2 = 4f^2$  فان عامل التركيب:  $I \propto |F_{hkl}|^2 = 4f^2$  انعكاس موجود (حاضر) -- والشدة ستكون:  $I \propto |F_{hkl}|^2 = 4f^2$  مناقشة المثال السابق لحساب عامل التركيب لشبيكة مكعب متمركز الجسم (BCC): هنالك مصطلح الانعكاس الغائب والانعكاس الحاضر من السطوح فمثلاً (100) و (111) فهي انعكاسات غائبة . اما (110) و (231) و مثيلاتهم هي انعكاسات حاضرة .

Planes المستويات	(h+k+l)	$F_{hkl}$	Notes الملاحظات	
(100)	Odd فر دي	0	absent reflection × انعكاس مفقود (غائب)	
(110)	Even وزوجي	2f	present reflection انعکاس موجود (حاضر)	
(111)	odd فر د <i>ي</i>	0	absent reflection × انعکاس مفقود (غائب)	
(200)	even وزوجي	2f	present reflection انعکاس موجود (حاضر)	
(210)	odd فر د <i>ي</i>	0	absent reflection × (غائب)	
(220)	even وزوجي	2f	Reflections present انعکاس موجود (حاضر)	

ان بعض العناصر لها شبيكة bcc مثل الصوديوم والبوتاسيوم والباريوم والسيزيوم ولذلك لا يشمل طيف الحيود وفق القواعد المذكورة سابقاً خطوط او اشعة حيود من المستويات مثل

(100) (300) (111) (113) (234) (010) (001)

ان هذه الانعكاسات تحقق قانون براك ولكن سبب التلاشي والطهور يعتمد على فرق الطور حيث يكون تداخل تقوية (بناء) او تداخل اتلافي .

مثال3: احسب عامل التركيب لشبيكة مكعب متمركز الجسم (BCC). اذا كانت الذرتان مختلفتان يعني  $f_1 \neq f_2$  غير متساوية . خذ على سبيل المثال بلورة كلوريد السيزيوم  $\operatorname{CsCL}$ 

س) احسب عامل التركيب لشبيكة بلورة كلوريد السيزيوم CsCL ؟

قدرة التشتت  $f_{\rm cl}$  (مختلفة لان في  $f_{\rm cl}$  الكترون اما في الكلور  $f_{\rm cl}$  الكترون) قدرة التشتت  $f_{\rm cl}$  (مختلفة لان في  $f_{\rm cl}$  واحداثيات ذرة  $f_{\rm cl}$  هي في الموقع  $f_{\rm cl}$  الكترون) احداثيات في الموقع  $f_{\rm cl}$  واحداثيات ذرة  $f_{\rm cl}$  هي في الموقع  $f_{\rm cl}$ 

$$\begin{cases} F_{(hkl)} = \sum_{n=1}^{n=N} f_n exp[2\pi i (\mathbf{u}_n h + \mathbf{v}_n k + \mathbf{w}_n l)] \\ F_{(hkl)} = \sum_{n=1}^{n=2} f_n e^{2\pi i (\mathbf{u}_n h + \mathbf{v}_n k + \mathbf{w}_n l)} \\ F_{(hkl)} = f_{cs} e^{2\pi i (0h + 0k + 0l)} + f_{cl} e^{2\pi i \left(\frac{1}{2}h + \frac{1}{2}k + \frac{1}{2}l\right)} \\ F_{(hkl)} = f_{cs} e^0 + f_{cl} e^{2\pi i \left(\frac{1}{2}h + \frac{1}{2}k + \frac{1}{2}l\right)} \\ F_{(hkl)} = f_{cs} + f_{cl} e^{\pi i (h + k + l)} \qquad ... \end{cases}$$

### لمناقشة المعادلة الاخيرة 3

(لا يكون اتلافى 100%).

$$\left\{h+k+l=1 
ight.$$
 عدد فردي  $\left\{a$  عدد فردي (h+k+l) هو عدد صحيح فردي -a  $F_{hkl}=f_{cs}-f_{cl}$  هو عدد صحيح المعادلة  $I=(f_{cs}-f_{cl})^2$  اقل شدة

 $e^{-i\pi} = e^{i\pi} = \cos \pi + i \sin \pi = -1 + 0 = -1 = e^{-i\pi((24)^{0.2})} = e^{i\pi((24)^{0.2})} = e^{i\pi((24)^{0.2})}$  حسب هذه المعادلة لهذه الحالة لا يكون فيها الانعكاس الغائب و انما ذو شدة قليلة

 $\left\{h+k+l=$ اما اذا كان مجموع دلائل ميلر زوجي  $\left\{h+k+l=f_{cs}+f_{cl}\right\}$  عدد زوجي  $F_{hkl}=f_{cs}+f_{cl}$  عطم شدة  $I=(f_{cs}+f_{cl})^2$  اعظم شدة

 $e^{-i2\pi} = e^{i2\pi} = \cos 2\pi + i \sin 2\pi = 1 + 0 = 1 = e^{-i\pi(e^{-i\pi}(e^{-i\pi}))} = e^{i\pi(e^{-i\pi}(e^{-i\pi}))}$ 

• وهذه الحالة المعادلة مجموع (h+k+1) هو اعداد زوجية ويكون الشدة قوية (تداخل بناء).

من الانعكاسات من مثل هذه المستوبات.

مثال4: احسب عامل التركيب لشبيكة مكعب متمركز الاوجه F.C.C ? وان اساسها يمتلك ذرات متماثلة (000) ,  $(\frac{1}{2}, \frac{1}{2}, 0)$  ,  $(\frac{1}{2}, 0, \frac{1}{2}, 0)$  ,  $(0, \frac{1}{2}, \frac{1}{2})$  u v w عند الاحداثيات u v w عند الاحداثيات u v wالذرات متشابهة  $f_1 = f_2 = f_3 = f_4 = f$  N=4 أي ان قدرة التشتت  $\left\{F_{(hkl)} = \sum_{n=1}^{\infty} f_n exp[2\pi i(\mathbf{u}_n h + \mathbf{v}_n k + \mathbf{w}_n l)]\right\}$  $F_{(hkl)} = \sum_{n=1}^{\infty} f_n e^{2\pi i (\mathbf{u}_n h + \mathbf{v}_n k + \mathbf{w}_n l)}$  $F_{hkl} = f \left[ e^{2\pi i (0h + 0k + 0l)} + e^{2\pi i \left(0h + \frac{1}{2}k + \frac{1}{2}l\right)} + e^{2\pi i \left(\frac{1}{2}h + 0k + \frac{1}{2}l\right)} + e^{2\pi i \left(\frac{1}{2}h + \frac{1}{2}k + 0l\right)} \right]$  $F_{hkl} = f [\bar{e}^{2\pi i(0)} + e^{\pi i(k+l)} + e^{\pi i(h+l)} + e^{\pi i(h+k)}]$  $F_{hkl} = f \left[ 1 + e^{\pi i(k+l)} + e^{\pi i(h+l)} + e^{\pi i(h+k)} \right] \dots \dots \dots \dots$  $I \propto |F_{hkl}|^2 = 16f^2$  والشدة ستكون:  $\{F_{hkl} = 4f\}$ حيث انه اذا كانت (h+k+l) كلها فردية أو كلها زوجية فان كل حد اسي سيعطي (1) وسيحصل على حيود من هذه الاسطح . لانه (زوجي+زوجي= زوجي& (فردي<math>+فردي=زوجي) $e^{-i2\pi} = e^{i2\pi} = \cos 2\pi + i \sin 2\pi = 1 + 0 = 1 = e^{-i\pi(e^{-i\pi}(e^{-i\pi}))} = e^{i\pi(e^{-i\pi})}$ ومن امثلة هذه الاسطح : (111) ، (200) (204) ، (204) ، (406)  $\{(h \& k \& l) = \frac{l}{l}$ اذا كان  $\{(i_0 + i_0) \in (i_0 + i_0)\}$  مختلطة  $I \propto |F_{hkl}|^2 = 0$  والشدة ستكون:  $\{\mathbf{F}_{hkl} = \mathbf{0}\}$  فان عامل التركيب:  $e^{-i\pi} = e^{i\pi} = \cos \pi + i \sin \pi = -1 + 0 = -1 = e^{-i\pi((عدد فردي))} = e^{i\pi}$  (عدد فردي) و من امثلة هذه السطوح (221) (234) (123) (221) , (210), (110) , (100) فَمَثَلًا لَلْنَحَاسُ وَالَّذَهِبِ وَالْنَيْكُلُ وَالْفَضَةُ شَبِيكَةً fcc لَذَلْكَ يكونَ طَيْفِ الحيود من بلورات هذه العناصر خالياً

-				
Planes المستويات	(h &k & l)	F <sub>hkl</sub>	Notes الملاحظات	
(100)	مختلطة	0	absent reflection × انعكاس مفقود (غائب)	
(110)	مختاطة	0	absent reflection × انعكاس مفقود (غائب)	
(111)	متشابهة كلها فردي	<i>4f</i>	Reflections present انعکاس موجود (حاضر)	
(200)	متشابهة كلها زوجي	<i>4f</i>	present reflection انعکاس موجود (حاضر)	
(210)	مختلطة	0	absent reflection × انعکاس مفقود (غائب)	
(220)	متشابهة كلها زوجي	<b>4</b> f	Reflections present انعکاس موجود (حاضر)	



**Table** Miller Indices of the Diffracting Planes for BCC and FCC Lattices

Cubic planes {hkl}		Sum	Cubic diffracting planes { <i>hkl</i> }	
	$h^2 + k^2 + l^2$	$\Sigma[h^2+k^2+l^2]$	FCC	BCC
{100}	$1^2 + 0^2 + 0^2$	1		
{110}	$1^2 + 1^2 + 0^2$	2		110
{111}	$1^2 + 1^2 + 1^2$	3	111	
{200}	$2^2 + 0^2 + 0^2$	4	200	200
{210}	$2^2 + 1^2 + 0^2$	5		
{211}	$2^2 + 1^2 + 1^2$	6		211
		7		
{220}	$2^2 + 2^2 + 0^2$	8	220	220
{221}	$2^2 + 2^2 + 1^2$	9		
{310}	$3^2 + 1^2 + 0^2$	10		310

2025-2024

